

B-C-H

V-4640

J. 1948

B₃CH, B₃CD, B₃CF, B₃CCl, B₃CBr, B₃CJ (✓)

Rosser S.E., Cleveland F.F.,

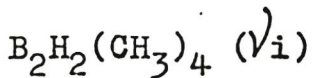
Phis. Rev., 1948, 75, 333

CA, 1950, 44, 6269i

J

1951

V 5071



Rice B., Barredo J.M.G., Young T.F.

J. Am. Chem. Soc., 1951, 73, 2306-7

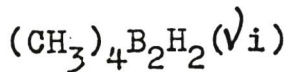
Raman spectrum of tetramethyldiborane. Apparatus for the production of Raman spectra at low temperature.

CA., 1951, 7433d

J

V 5072

1952



Rice B., Young T.F., Barredo J.M.G.

Anales real soc. cspan. fis y quim., 1952, 48E
191-2

Evidence for the bridged structure of tetra-methyldiborane

CA., 1953, 5798e

J





1956

БР-IV-534

Law R.W., Margrave J.L.

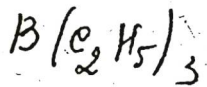
J.Chem.Phys., 1956, 25, N 5,
1086-1087 (англ.)

Масс-спектрометрические потенциалы
появления положительных осколочных ионов
из BF_3 , $\text{B}(\text{CH}_3)_3$, $\text{B}(\text{C}_2\text{H}_5)_3$ и $\text{HB}(\text{OCH}_3)_2$.

РХ., 1957, N 13,
43703

и

Ботъ ф. к.



B.P. - 537 - V

1956

R. W. Law, J. L. Margrave
J. Chem. Phys. 25, 1086

Mass-spektrometrik untersucht
wirkung von BF_3 , PCl_3 , $B(CH_3)_3$, $B(C_2H_5)_3$,
 $B(OCH_3)_3$ u $HB(OCH_3)_2$

8307

BP-8507-IV

V 4297

1956

$(CH_3)_3NBH_3$, $(CH_3)_2NHBH_3$, $CH_3N_2BH_3$,
 $CH_3N_2BH_3$, $(CH_3)_3NBI(CH_3)_2$, $(CH_3)_3NB(CH_3)_3$, BH_3 , $BH(CH_3)_2$
 (II) $(CH_3)_3N$,
 $(CH_3)_2HN$, $CH_3N_2(I.P.)$

McCoy R.E., Bauer S.H.

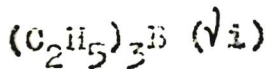
J. Amer. Chem. Soc., 1956, 78, N 10,
2061-65

Энергетика боранов...

 BC_2H_7

1958

V 5060



Lehmann W.J., Wilson C.O., Shapiro I.

J.Chem. Phys., 1958, 28, N 5, 781-84.

Характеристические частоты триэтилбора

PJX., 1959, N 4, 10773

5



В-секунд.

1958

Секунд.

Shapiro I., Wilson C. O., Lehmann W. J.,
J. Chem. Phys., 1958, 29, 257.

В-к
характер.

Каражевский реконструировал В-к ба-
характер. исходя из оптических акустиче-
ских методов.

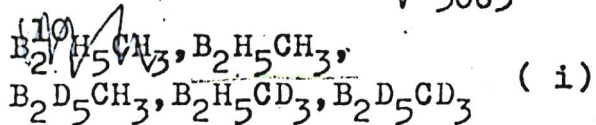
1960

6Б395. ИК-спектры аликилдигоранов. II.
 Моноэтилдигораны. Lehmann Walter J., Wilson
 Charles O., Jr, Shapiro I. Infrared spectra of
 alkylidboranes. II. Monoethylidboranes. «J. Chem.
 Phys.», 1960, 32, № 6, 1786—1790 (англ.).—Исследованы
 спектры поглощения 5 изотопич. производных моно-
 этилдигорана $C_2H_5B_2^{10}H_5$, $C_2H_5B_2H_5$, $C_2H_5B_2D_5$, $C_2D_5B_2H_5$
 и $C_2D_5B_2D_5$ в газообразном состоянии в области 650—
 5000 см^{-1} и дано отнесение наблюдавшихся полос. Вы-
 полнено измерение давления паров $C_2H_5B_2H_5$ и пай-
 депо, что в интервале от -110 до -58° оно описывает-
 ся уравнением $\lg p$ (мм рт. ст.) = $-883,25/T + 0,011376 \cdot$
 $T + 3,2343$, где T выражено в $^\circ\text{К}$. Сообщение I см.
 реф. 6Б126. В. Юнгман

ж. 1960 .6

V 5063

1960



Lehmann W., Wilson C.O., Shapiro I.

J. Chem. Phys., 1960, 32, N 4, 1088-93

Инфракрасные спектры алкилдигидборанов
I. Монометилдигидбораны.

PJX., 1961, 6B126

J

V 5065-BP.

1960

$(\text{CH}_3\text{BH}_2)_2, (\text{CH}_3\text{BD}_2)_2$ (i,)

Lehmann W.J., Wilson C.O., Shapiro I.

J. Chem. Phys., 1960, 33, N 2, 590-597

Инфракрасные спектры алкилдизборанов.
III. 1,2-диметил- и 1,2-диэтилдизбораны.

PJX., 1961, 16B92
J

если · · · · ·
F

V4350

1960

I. (B_2H_6 , B_5H_8I , B_5H_9 , $B_{10}H_{14}$, $B_{10}H_{13}C_2H_5$)

Margrave J.L.

J.Chem. Phys., 1960, 32, N 6, 1889

Потенциалы ионизации B_5H_9 , B_5H_8I , $B_{10}H_{14}$, $B_{10}HI_3C_2H_5$
полученные методом электронного удара.

РЖХ., 1961, ЗБ125

J

F

Соединение
B

W. J. Lehnmann, J. Shapiro V-5062 1961

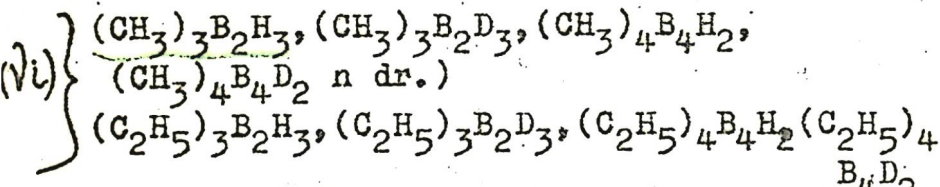
Spectrochim Acta, 1961, 17, N 4, 396-411

Характеристические спектры алкилборанов.

Изучены спектр. сущесв. фазовых переходов и ~~отт~~ элек-
боранов. Особое внимание уделено характерист. группе
спектр, в которых присутствует анион. ионор.

BP-7017-V; V 5069

1961



Lehmann W.J., Wilson C.O., Jr, Shapiro I.

J.Chem. Phys., 1961, 34, N 3, 783-92

Infrared spectra of alkyldisoranes. V.Tri-and
tetramethyl and ethyldiboranes.

PJX., 1962, 14B94
J.

V4357

1963

B₂(C₂H₅)₃ (Hf); B₂H₆ (Hf) · BH(C₂H₅)₂ · BH₂(C₂H₅)₂
Pope A.E., Skinner H.A.

J. Chem. Soc., 1963, July, 3704-3712

Thermochemistry of organoboron compounds. Part
VIII The heats of reaction of diboran with
ethylene, isobutene, budadiene, and isoprene.

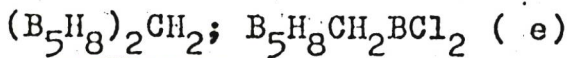
PJX, 1964, 18B37

F

G1.

LCMB gp-1E

BP-V 5077; BP-7034-V 1964



Altwicker E.R., Ryschkewitsch G.E., Garrett
Sisler H.H.,

Inorgan. Chem., 1964, 3, N 3, 454-55

The compounds $(B_5H_8)_2OH_2$ and $B_5H_8CH_2BCl_2$

PJX., 1965, 5B22

J

F

V 5074

1964



Beaudet R.A., Poynter R.L.

J.Amer. Chem. Soc., 1964, 86, N 6, 1258-59

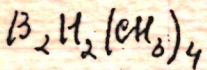
The structure of $C_2B_5H_7$.

PJX., 1965, 7B213

J



1964



Carroll B. L.

Miss. Abst 2. 24 N 10, 4 R 03

Изучение электронной дифракции
на гидрите и аммиодибранах

III B_2H_6

1964

$C_2B_5H_7$

Aug 5 1964

The structure of $C_2B_5H_7$. Robert E. Braudet and Robert L. Poynter (California Inst. of Technol., Pasadena). *J. Am.*

Chem. Soc. 86(6), 1258-9(1964). A pure rotational spectrum analysis of the 5 isotopic carboranes of $C_2B_5H_7$ shows that the mol. has 2 nonadjacent C atoms in the pentagonal base of a pentagonal bipyramid.

BDJN

C. A. 1964 61 16 6533 1

B-C

Koedinger
(J.)

1964

5899

THE VIBRATIONAL SPECTRA OF n-PROPYL DERIVATIVES OF BORINE. I. THE INFRA-RED AND RAMAN SPECTRA OF TRI-n-PROPYL BORINE. M. G. H. Wallbridge (Univ. of Sheffield, Eng.). Spectrochim. Acta, 20: 1829-33(Dec. 1964).

The infrared and Raman spectra of isotopically normal tri-n-propyl borine were recorded over the ranges 4000 to 400 and 4000 to 200 cm^{-1} respectively. The infrared spectrum of the compound enriched in the ^{10}B isotope was also recorded. Various assignments of bands were made, and in particular the B-C asymmetric stretching frequency was corrected and re-assigned. (auth)

NSA. 1965.19.4

V-5278

1965

C₂B₅H₇

зД362. Микроволновый спектр, структура и дипольный момент 2,4-дикарбогептaborана(7). Beaudet R. A., Poynter R. L. Microwave spectrum, structure, and dipole moment of 2,4-dicarbahaptaborane(7). «J. Chem. Phys.», 1965, 43, № 7, 2166—2170 (англ.)

и. - в.
спектр

С помощью спектрометра со штарковской модуляцией исследованы микроволн. спектры изотопич. комбинаций молекулы C₂B₅H₇ (содержащих B¹⁰, B¹¹, C¹³), в диапазоне 8—40 ГГц при т-ре сухого льда и давлении 10—30 м. Молекула представлена сплющенным ротатором с правилами отбора *a*-типа. Координаты атомов B и C, определенные из вращательных констант, показывают, что молекула представляет собой пятиугольную бипирамиду. Дипольный момент, определенный по нескольким $J = -3 \leftarrow 2$ переходам, направлен вдоль оси *A* и равен $1,33 \pm 0,03$ ед. Дебая. Библ. 11 назв. Б. Неуймин

ф. 1966. 375

1965

 $B(CH_3)_2$

1Д184. Метод наименьших квадратов для определения структуры молекул газа непосредственно по интенсивностям дифрагирующих электронов. Bartell L. S., Kohl D. A., Carroll B. L., Gavin R. M., Jr. Least-squares determination of structures of gas molecules directly from electron-diffraction intensities. «J. Chem. Phys.», 1965, 42, № 9, 3079—3084 (англ.)

Для интерпретации данных по дифракции электронов разработан новый метод наименьших квадратов, основанный на сравнении полных эксперим. интенсивностей (И) с вычисленными И. Он отличается от всех опубликованных ранее тем, что в нем прямо используются измеренные величины вместо обычных «приведенных И», получаемых субъективно из сглаживаемых от руки данных. Обсуждаются возможности нового метода. Представлены результаты по определению структуры $B(CH_3)_2$

95. 1966. 18

цис-CH₃BN₂BH₂CH₃

Б92-5225-V

1965

ище- 6 Д149. Расчет и интерпретация колебательных спектров диборановых соединений. II. Цис- и транс-1,2-диметилзамещенные диборана и их дейтерозамещенные.

З Капшталь В. Н., Свердлов Л. М. «Ж. физ. хими», 1965, 39, № 9, 2193—2197

ИК-спектр

γi

Произведен расчет частот и форм норм. колебаний и дана интерпретация ИК-спектров молекул цис- и транс-1,2-диметилзамещенных диборана и их дейтерозамещенных. Установлены характеристич. частоты цис-1,2-диметилдиборана и цис-CH₃DBD₂BDCH₃. Ч. I см. РЖФиз, 1964, 2Д73.

ch · 1966 · 69

Физ. 1

539.12.01

Suzuki M.

Corrections to the octuplet spurion in the nonleptonic decays
of the hyperons.

Phys. Rev., 1965, 137, N 6B, 1602—1604.

Поправки к октуплетному шпурниону в нелептонных распа-
дах гиперонов. Библиогр. 14 назв.

1965

V-5518.

CB₅H₇ (stryktyra, i)

Chak T., Drake R., Dunks G.,

J.Amer.Chem.Soc., 1965, 87, N11, 2505.

Uonocarbahexaborane (7).

RX., 1966, 10536.

J.

A-895

1965

Vi, 2e, синт. коср. (Компактные газы)
 X_3Z-NR_3 , 2e
 $Z = B, Al$
 $X = H, F, Cl, Br, \overset{CH_3}{Cl}$ u $R = H, \overset{CH_3}{CH_3}$

Sawodny W., Goubeau J.

Z. phys. Chem. (BRD), 1965, 49, 227-241

Prep.

1966, 28 161

10

1985

B₁₀C₂H₂₂

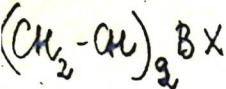
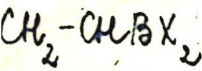
11 Б42. Электронографическое исследование строения молекулы карборана $B_{10}C_2H_{22}$ в парах. Вилков Л. В., Мастрюков В. С., Акишин П. А., Жигач А. Ф. «Ж. структурн. химии», 1965, 6, № 3, 447—449.

Проведено электронографич. исследование карборана $B_{10}C_2H_{12}$ в газовой фазе. Расшифровка произведена методом радиального распределения. Основным структурным фрагментом молекулы выбраны пятиугольные пирамиды из атомов В, соединенные по ребру основания. Предположено, что водородные мостики отсутствуют и имеются только концевые связи В—Н. Найдено, что расстояние (В—В) (ср.) $1,76 \pm 0,01$ Å, а поворот пирамид из атомов В до расстояния $B_5—B_{10}$ $1,77 \pm 0,05$ Å. Сделать выбор между 2 моделями карборана — икосаэдром и «корзинкой» — на основании имеющихся электронографич. данных трудно. Икосаэдрич. структура скелета с расстояниями В—С $1,75 \pm 0,05$ Å и С—С $1,70 \pm 0,1$ Å найдена для молекулы диметилкарборана $B_{10}H_{10}(CCH_3)_2$.

Е. Брюхова

X·1966 · 11

1966



10 Д80. Расчет π -электронных структур винилборонов методом свободных электронов. Armstrong D. R., Perkins P. G. Calculation of the π -electronic structures of vinyl boron compounds by the free-electron method. «Theoret. chim. acta», 1966, 4, № 1, 69—84 (англ.; рез. нем., франц.)

В рамках простейшей модели свободных электронов произведен расчет спектральных характеристик двух соединений бора с замещенными углеводородами $\text{CH}_2\text{-CHBX}_2$, $(\text{CH}_2\text{-CH})_2\text{BX}$. Согласие с экспериментом может быть достигнуто только при учете взаимодействия электронов, которое было рассмотрено по методу Ольшевского (РЖФиз, 1956, № 7, 193031).

М. Местечкин

$(CH_3)_2\text{B}-\text{CH}_3$ (I)

B9-V-5224

1966

10 Д119. Расчет и интерпретация колебательных спектров диборановых соединений. III. 1,1-диметилдиборан и тетраметилдиборан. Капшталь В. Н. «Ж. физ. химии», 1966, 40, № 4, 945—949

$(CH_3)_2\text{B} - \text{CH}_3 (CH_3)_2$ (II)

Произведен расчет и дана интерпретация колебательных спектров 1,1-диметилдиборана и тетраметилдиборана. Установлены характеристич. частоты рассмотренных молекул. Использование единой системы силовых коэф. при расчетах дейтеро- и алкилзамещенных диборана и получение на их основе достаточно удовлетворительных результатов свидетельствует в пользу правильности выбора силовых коэффициентов. Ч. II см. РЖФиз, 1966, 6Д149.

колебаний
спектров

ω_i, ν_i

окт. 1966. 102

$\text{CH}_3\text{B}_2\text{H}_5$

I - III - 1813

1966

ν_i

50525h Calculation and interpretation of vibrational spectra of diborane compounds. IV. Monomethyldiborane, its deutero derivatives, and trimethyldiborane. V. N. Kapshtal and L. M. Sverdlov (Polytech. Inst., Saratov). *Zh. Fiz. Khim.* 40(11), 2818-22(1966)(Russ); cf. *CA* 65, 3703h. Vibrational spectra of MeB_2H_5 , $\text{CD}_3\text{B}_2\text{H}_5$, MeB_2D_5 , $\text{CD}_3\text{B}_2\text{D}_5$, and $(\text{CD}_3)_3\text{B}_2\text{H}$, were calcd. by the Mayan method. For the B-Me the following frequencies are characteristic: ~ 2950 , ~ 2850 , ~ 1435 , and $\sim 1335 \text{ cm.}^{-1}$ for $[q^-(\text{C}-\text{H})]$, $[q^+(\text{C}-\text{H})]$, $[\alpha^-(\text{HCH})]$, and $[\alpha^+(\text{HCH})]$, resp. For the BH_2B ring: ~ 2050 , ~ 1920 , $\sim 1600 \text{ cm.}^{-1}$ (valence vibration frequencies of the B-H bridge bond); $\sim 340 \text{ cm.}^{-1}$ (frequency corresponding to the bend in the ring); the ~ 1530 -, ~ 1435 -, and $\sim 1190 \text{ cm.}^{-1}$ frequencies (valence vibration frequencies of the B-D bond); and $\sim 260 \text{ cm.}^{-1}$ (corresponding to the bend in the BD_2B ring) are characteristic for the BD_2B ring.

GPJR

+ 4

C.A. 1967. 66. 12

18

$\text{CH}_3\text{B}_2\text{H}_5$

V - M - 1873

1966

8 Б137. Расчет и интерпретация колебательных спектров диборановых соединений. IV. Монометилдиборан, его дейтерозамещенные и триметилдиборан. Капшталь В. Н., Свердлов Л. М. «Ж. физ. химии», 1966, 40, № 11, 2818—2822

На основе использования единой системы силовых коэф. диборана и алкилзамещенных диборана произведен расчет и дана интерпретация колебательных спектров молекул $\text{CH}_3\text{B}_2\text{H}_5$, $\text{CD}_3\text{B}_2\text{H}_5$, $\text{CH}_3\text{B}_2\text{D}_5$, $\text{CD}_3\text{B}_2\text{D}_5$ и $(\text{CH}_3)_3\text{B}_2\text{H}_3$. Установлены характеристич. частоты этих молекул. Сообщ. III см. РЖХим, 1966, 17Б114.

Реферат авторов

X. 1967. 8

17

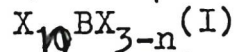
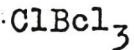
1966
 $B_2H_2(CH_3)_4$ Kato Hiroshi et al.

Bull. Chem. Soc. Japan 39, N^o 7,
1377.

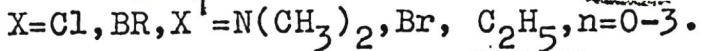
Effect of surface exposure on physical
and chemical properties of a direct boron
in amorphous. II. Properties.

[II] B_2H_6

A-823 1966



n=2



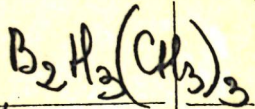
Lappert M.F., Pedlez J.B., Riley R.N.K,
Tweedale A.,

Chem. Commun., 1966, (21), 788-9.

Ionization potentials and electronic spectra
of halo and aminoboranes, and a study of
some redistribution reactions.

J, F CA, 1967, 66, N8, 33263d.

1966



(Cue up)

33271e The ultraviolet spectrum of trimethylborane and the ethylene problem. B. G. Ramsey (Univ. of Akron, Akron, Ohio). *J. Phys. Chem.* 70(12) 4097-8(1966)(Eng). In the uv spectrum of trimethylborane between 4000 and 1770 Å. there were 2 band systems at energies lower than the Rydberg transitions observed for CH_4 . At 1770 Å. the hyperconjugative $n_B \leftarrow \pi_{CH}$ transition occurred in which an electron was promoted from a C-H bond to the empty p_z orbital of B. The transition energy was ~ 7 ev. Between 2250 and 1950 Å. the weak bands can be assigned probably to $N_B \leftarrow \sigma_{B-C}$ transitions. A consequence of this result is the possible assignment of the weak transitions at 2140 and 2160 Å. in the methyl radical spectrum to an $N_C \leftarrow \sigma_{CH}$ transition and the expectation of such a transition with iso-electronic carbonium ions.

DWJN

C.A. 1967. 66.8

1966

Триметил
боран } 12 Б130. Ультрафиолетовый спектр триметилборана
и проблема этилена. Ramsey B. G. The ultraviolet
spectrum of trimethylborane and the ethylene problem.
«J. Phys. Chem.», 1966, 70, № 12, 4097—4098 (англ.)

Исследован спектр поглощения триметилборана в об-
ласти 400—1700 Å, где обнаружены 2 различные системы
полос, которые не могут быть интерпретированы как ана-
логи ридберговых серий для метана. Начало коротковол-
нового поглощения [$\lambda_{\text{макс.}} \approx 1750 \text{ Å}$] приписано переходу
 $n_{\text{в}} \leftarrow \pi_{\text{си}}$, при котором электрон перемещается с σ -связи
СН на заполненную p_{c} -орбиту бора. Расчеты на основе
модели с переносом заряда и модели гетероатома для ме-
тильной группы, как донора пары электронов, дают оди-
наковые значения энергии соответствующего перехода
 ~ 7 эв. Слабые полосы поглощения в области 2250—1950
Å, видимо, могут быть относены $n_{\text{в}}$ $\sigma_{\text{в-с-переходам}}$ в
триметилборане.

Э. 1967. 12

$B_{10}C_2H_{12}$

V-5414

1966

50011n Electron diffraction study of the neocarborane molecule. L. V. Vilkov, V. S. Mastryukov, A. F. Zhigach, and V. N. Siryatskaya (M. V. Lomonosov State Univ., Moscow). *Zh. Strukl. Khim.* 7(6), 883-5(1966)(Russ); cf. CA 59, 8218b. The structure of $B_{10}C_2H_{12}$ in the vapor state was detd. by the electron diffraction method (*loc. cit.*). The exptl. data satisfied a regular icosahedron model in which the C atoms are in the meta position.

GBJR

C.A. 1967. 66:12

$B_{10} C_2 H_{12}$

V-5414

1966

19 Б84. Электронографическое исследование молекулы неокарборана. Вилков Л. В., Мастрюков В. С., Жигач А. Ф., Сиряцкая В. Н. «Ж. структурн. химии», 1966, 7, № 6, 883—885

структур и изра

Проведено электронографич. исследование молекулы неокарборана $B_{10}C_2H_{12}$ (I) в парах. I приготовлен путем термич. изомеризации орто-карборана (II). Приведен вид экспериментальных кривых интенсивности и радиального распределения $sM(s)$ и $f(r)$, а также указано положение пиков на экспериментальной кривой $f(r)$. Проведен расчет теоретич. кривых $sM(s)$ и $f(r)$, в котором I рассматривался как правильный икосаэдр. Получено хорошее согласие экспериментальных и теоретич. кривых при следующих значениях геометрич. параметров $r(BB)=r(BC)=1,775 \pm 0,01\text{А}$; $r(BH)=1,21 \pm 0,03\text{А}$ и $r(CH)=1,10\text{А}$. Проведено сопоставление полученных данных для молекулы I с результатами исследования молекул дикарборана $B_{10}H_{14}$ и II.

А. Александров

X. 1967. 19

A-1253

одзоп / молек. иони, emp-pa (?) 1967

C₂B₅H₇

Rudolph H. D.,

Z. angew. Phys., 1967, 23, N 1, 49-57 (new;)

Rotationsspektroskopie an freien Molekülen
im Mikrowellengebiet.

Рекомм, 1968, 11B217

10

$B_{10}H_{10}(CH_3)_2$

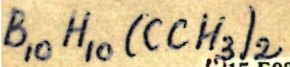
V-5573

1967

—15839n Electron diffraction study of C,C'-dimethylcarborane in vapors. L. V. Vilkov, V. S. Mastryukov, A. F. Zhigach, and V. N. Siryatskaya (Gos. Univ., Moscow). *Zh. Strukt. Khim.* 8(1), 3-7(1967)(Russ). The mol. structure of $B_{10}H_{10}(Me)_2$ is studied by electron diffraction in the vapor phase. The diffraction diagrams are obtained by the sector-microphotometric method (*CA* 59: 8218b). Comparison of the exptl. results with the theoretical distribution curves ($f(r)$ curves) permits a choice between the "basket" model and the regular icosahedron in favor of the latter model (*CA* 63: 14891d). The geometrical properties of the $B_{10}C_2$ structures of the mol. are: B-B = 1.77 ± 0.05 Å, B-C = 1.75 ± 0.05 Å, and C-C = 1.7 ± 0.1 Å.

S. I. Spassov

C.A. 1967. 67. 4



1967

15 Б93. Электронографическое исследование молекулы С,С'-диметилкарборана в парах. Вилков Л. В., Мастюков В. С., Жигач А. Ф., Сиряцкая В. Н.. «Ж. структурн. химии», 1967, 8, № 1, 3—7

структура

Электронографическим сектор-микрофотометрич. исследованием строения молекулы С,С'-диметилкарборана $B_{10}H_{10}(CCH_3)_2$ в парах найдено, что геометрия остова $B_{10}C_2$ этой молекулы близка к правильному икосаэдру с $r(BB)_{cp}=1,77\pm 0,01$, $r(BC)=1,75\pm 0,05$ и $r(CC)=1,70\pm 0,1$ Å. Резюме

15 Б93

X. 1967: 15

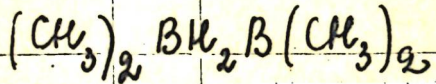
$(\text{CH}_3)_2\text{BH}_2\text{B}(\text{CH}_3)_2$ | B9-5853-V | 1968

54365v Molecular structure and internal rotation in tetramethyldiborane. An electron diffraction study. B. L. Carroll and L. S. Bartell (Iowa State Univ., Ames). *Inorg. Chem.* 7(2), 219-22(1968)(Eng). The structure of gaseous $(\text{Me}_3)_2\text{BH}_2\text{B}(\text{Me}_3)_2$ was reinvestigated by electron diffraction. Mean (r_0) internuclear distances and approx. standard errors detd. from the radial distribution function are $\text{B-C} = 1.590 \pm 0.003$, $\text{B-B} = 1.840 \pm 0.010$, $\text{C-H} = 1.119 \pm 0.004$, and $\text{B-H}_b =$

1.364 ± 0.045 Å. The derived BBC and BCH angles, uncorrected for "shrinkage effects," are $120.0 \pm 1.3^\circ$ and $112 \pm 2^\circ$, resp. Root-mean-sq. amplitudes of vibration are also reported. Me groups are staggered with respect to the bonds radiating from B atoms, and the barrier to rotation is approx. 1 kcal./mole. A brief comparison of structural parameters is made with corresponding boranes and hydrocarbons, and alternative interpretations of trends are discussed. 17 references. RCHH

C.A. 1968 68-12

[Bр - 5853-v] 1968

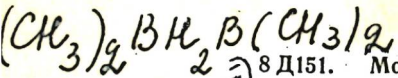


16 Б103. Молекулярная структура и внутреннее вращение в $(\text{CH}_3)_2\text{BH}_2\text{B}(\text{CH}_3)_2$. Исследование методом дифракции электронов. Сагголл В. Л., Вагелл С. Molecular structure and internal rotation in tetramethyldiborane. An electron diffraction study. «Inorgan. Chem.», 1968, 7, № 2, 219—222 (англ.)

Исследовано строение $(\text{CH}_3)_2\text{BH}_2\text{B}(\text{CH}_3)_2$ методом дифракции электронов. Найдены значения средних межатомных расстояний: B—C $1,590 \pm 0,003$, B—B $1,840 \pm 0,010$, C—H $1,119 \pm 0,004$ и B—H $1,364 \pm 0,045$ Å. Углы BBC и BCH равны $120,0 \pm 1,3^\circ$ и $112 \pm 2^\circ$, соотв. Барьер вращения для CH_3 -групп равен ~ 1 ккал/моль.

Ю. В. Караван

x · 1968 · 16



1968

8 Д151. Молекулярная структура и внутреннее вращение в тетраметилдиборане. Исследование методом дифракции электронов. Cagroll B. L., Bartell L. S. Molecular structure and internal rotation in tetramethyl-diborane. An electron diffraction study. «Inorgan. Chem.», 1968, 7, № 2, 219—222 (англ.)

Методом дифракции электронов определена структура молекулы тетраметилдиборана (ТМДБ) $(\text{CH}_3)_2\text{BH}_2\text{B}(\text{CH}_3)_2$. Для средних длин связей и валентных углов (без учета эффекта сокращения) найдены значения $r(\text{B}-\text{C}) = 1,590 \pm 0,003$, $\eta(\text{B}-\text{B}) = 1,840 \pm 0,010$, $r(\text{C}-\text{H}) = 1,119 \pm 0,004$ Å, $r(\text{B}-\text{H}_6) = 1,364 \pm 0,045$ Å, $\angle \text{B}-\text{B}-\text{C} = 120,0 \pm 1,3^\circ$ и $\angle \text{B}-\text{C}-\text{H} = 112^\circ \pm 2^\circ$. Определены также среднеквадратичные амплитуды

Б99 - 5853-У

90. 1968. 82

колебаний (СКА) связей В—С ($0,057 \pm 0,004$), В—В ($0,067 \pm 0,012$), С—Н ($0,086 \pm 0,006$) и В—Н ($0,086 \text{ \AA}$) и сопоставлены со СКА этих связей в B_2H_6 и $\text{B}(\text{CH}_3)_3$. Показано, что шахматная конформация метильных групп относительно связей В—С и В—Н наиболее вероятна. Для барьера внутреннего вращения метильных групп найдена величина $\approx 1 \text{ ккал/моль}$. Отличия геометрич. параметров ТМДБ от соответствующих параметров углеводородов и других боранов интерпретированы при помощи представлений о сверхсопряжении и делокализации π -электронов.

М. Р. Алиев

$\text{CH}_3\text{B}_5\text{H}_8^{11}$

V-5923

1968

22 Б297. Микроволновый спектр, структура, дипольный момент молекулы 1-метилпентaborана и колебательно-вращательное взаимодействие. Cohen Edward A., Beaudet Robert A. Microwave spectrum, vibration-rotation interaction, molecular structure, and dipole moment of 1-methylpentaborane. «J. Chem. Phys.», 1968, 48, № 3, 1220—1225 (англ.)

Исследованы МВ-спектры молекулы $1-\text{CH}_3\text{B}_5^{11}\text{H}_8$ и всех изотопич.mono- и дизамещенных с B^{10} . Определены вращательные постоянные и геометрич. параметры $r(B_1-B_2)=1,687 \pm 0,005 \text{ \AA}$, $r(B_2-B_3)=1,800 \pm 0,005$ и $r(B_1-C)=1,62 \pm 0,01$. По величине штарковского расщепления перехода $I=2 \leftrightarrow 1$ ($M=0$) найден дипольный момент $\mu=1,93 \pm 0,05 \text{ D}$, сравнимый с дипольным моментом пентaborана ($2,13 \text{ D}$). Развита теория внутреннего вра-

X. 1968.

22

щения в молекулах с N-мерным потенциальным барьером. Выведены общие выражения для элементов матрицы вращательной энергии с учетом внутреннего вращения, взаимодействия колебаний с внутренним вращением и колебательно-вращательного взаимодействия. Методом возмущений во втором приближении выведены ф-лы для энергии вращательных уровней и для частоты перехода $I \rightarrow I+1$ в различных состояниях крутильного колебания. Результаты применены к анализу спектров возбужденных состояний крутильного колебания и показано, что величина 12-мерного барьера внутреннего вращения в $1\text{-CH}_3\text{B}_5\text{H}_8$ меньше 1 см^{-1} . Определены также значения ряда параметров колебательно-вращательного взаимодействия.

М. Р. Алиев

$(C_2H_5)_3B$

1968

Fallor P.J.
et al.

(5)

"Fit. J. Mass Spectrom.
and Ion Phys."

1968, I, N2, 133-39

[act. $(CH_3)_3B$; $\underline{\underline{m}}$]

B₅H₉CH₃

1968

(u.b.
Cohen)

100370t Microwave spectrum, vibration-rotation interaction, molecular structure, and dipole moment of 1-methylpentaborane-(9). Edward A. Cohen and Robert A. Beaudet (Univ. of Southern California, Los Angeles, Calif.). *J. Chem. Phys.* 48(3), 1220-5(1968)(Eng). The microwave spectra of a no. of isotopic species of 1-methylpentaborane(9) have been analyzed. All spectra are consistent with a model having free internal rotation and vibration-internal-rotation interactions. Lack of barrier perturbations leads to an upper limit of 1 cm.^{-1} for the 12-fold barrier. The theory for the vibration-internal-rotation interaction is extended to low-barrier mols. having an N -fold barrier. The B framework was detd. to be identical with that in pentaborane(9). The dipole moment is $1.93 \pm 0.05 \text{ D.}$ RCJQ

C.A. 1968-68-22

B-C-H

1968

52630v Sum rules for the vibration frequencies and squares of vibration frequencies for methyl-substituted diboranes.
Kapshtal, V. N.; Sverdlov, L. M. (Saratov, Politekh. Inst., Saratov, USSR). *Izv. Vyssh. Ucheb. Zaved., Fiz.* 1968, 11(11), 136-8 (Russ); cf. CA 66: 50525h. Calcn. shows that, for methyl-substituted diboranes, $\sum_i (\nu_i^I)^2 \approx \sum_i (\nu_i^{II})^2$ and $\sum_i \nu_i^I \approx \sum_i \nu_i^{II}$,

where i denotes the various frequencies of a given symmetry class and I and II denote sets of mols. so chosen that the total nos. of Me, CD₃, BH₂B, BHDB, BD₂B, BH, and BD groups in the mols. of set I are, resp., equal to the nos. of these groups in the mols. of set II . Several examples are given.

Gordon G. Evans

C.A. 1969. 70.12

Б-С-М

1968

23 Б75. Правила сумм для частот и квадратов частот колебаний метилзамещенных диборана. Капшталь В. Н., Свердлов Л. М. «Изв. высш. учебн. заведений. Физика», 1968, № II, 136—138

Установлены правила сумм для метилзамещ. диборана и их дейтерозамещенных $\sum_i v_{II}^2 \approx \sum_i v_{III}^2$,

$\sum_i v_{II} \approx \sum_i v_{III}$, где I и II—смокупности молекул, в к-рых содержится по одинаковому числу групп CH_3 , CD_3 , BH_2B , BNDB , BD_2B , BN и BD . Автореферат

X. 1969. 23

V-5988

1968

В - ортагека

1 Б243. Характеристические частоты в инфракрасных спектрах метилдигоранов. Low M. J. D., Epstein R. Bond A. C. Characteristic infrared frequencies of methyl-diboranes. «J. Chem. Phys.», 1968, 48, № 5, 2386—2387 (англ.)

Сообщается об ИК-спектрах моноэтил-, 1,2-диметил-, транс-1,2-диметил-, цикло-1,2-диметил-, триметил- и тетраметилдигоранов в области $1000\text{--}2000\text{ см}^{-1}$. Кратко обсуждены особенности спектрального проявления указанных метилдигоранов.

Б. В. Рассадин

X. 1969

• 1

В-органическое
соединение

V-5988

1968

11 Д297. Характеристические ИК-частоты метилдигоранов. Low M. J. D., Epstein R., Bond A. C. Characteristic infrared frequencies of methylidiboranes. «J. Chem. Phys.», 1968, 48, № 5, 2386—2387 (англ.)

Исследованы ИК-спектры поглощения ($2600-300\text{ см}^{-1}$) шести метилдигоранов. Обнаружено хорошее соответствие между полученными и опубликованными ранее спектрами моно- и 1,1-диметильных соединений, это соответствие ухудшается по мере увеличения числа заместителей CH_3 . Отсутствие в спектрах поглощения колебания В—Н около 1600 см^{-1} объяснено увеличением влияния метильных групп. Отмечено, что отнесение некоторых полос алкилдигоранов, основанное на анализе спектров, требует пересмотра. Библ. 7. А. Белозеров

V.
i.

09. 1968. 119

B-C-H

Чаркеев О.И.,
Демкеева И. Е.

1968

М. ергутн. хлопоку,
1968, 9, 4, 675.

Рассеиваемая структура
легкосерных гомов
типа $MX'X^+$, где $X = F, Cl, Br,$
 I, Cl_3 .



(Cer. B-Hal) III

B-C-H

Чархин О.Н.
Демченко Н.Е.

1968

(3)

М. Сыркукт. Хиссес,

1968, 9, № 5, 864



(Cer. Li Y.)
оп. синх.) III

1969

HBC₂

Steck S.J., 1969.

Mac-
cormick;

D(H-Bc₂)

J. Phys. Chem., 1969,
73, n^o 4, 1000

(See B) T

1980

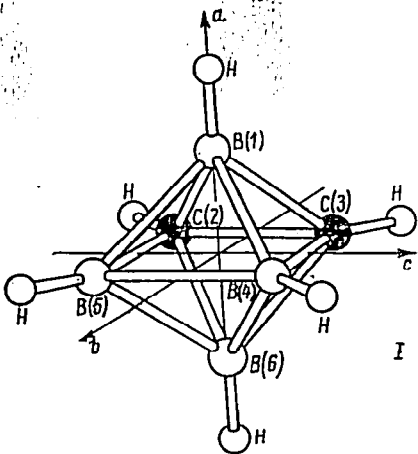
C₂B₄H₆

4 Б283. Скелетная молекулярная структура *клозо*-2,3-дикарбагексaborана (6), определенная из микроволновых спектральных исследований. Beaudet Robert A., Poynter Robert L. *Skeletal molecular structure of closo*-2,3-dicarbahexaborane (6) from microwave spectral studies. «J. Chem. Phys.», 1970, . 53, № 5, 1899—1905 (англ.)

чеснок
стр-рса

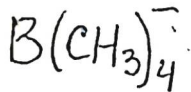
В области 12 000—38 100 Мгц исследованы МВ-вращательные спектры 13 изотопич. разновидностей молекулы *клозо*-2,3-дикарбагексaborана (6) (I) (нормальный C₂B₄¹¹H₆; 1-B¹⁰-; 4-B¹⁰-; 1,4-B¹⁰-; 1,6-B¹⁰-; 4,5-B¹⁰-; 2-C¹³-; 2,3-C¹³-; 2-C¹³-; 1-B¹⁰-; 2-C¹³-; 4-B¹⁰-; 2-C¹³-; 5-B¹⁰-; 2,3-C¹³-; 4-B¹⁰-; 2,3-C¹³-; 1-B¹⁰-производные) в основном колебательном состоянии ($0 \leq J \leq 3$). Приведены определенные из МВ-спектров вращательные постоянные

X- 1971. 4



анормального I $A = 6162,32$, $B = 5930,00$, $C = 5929,41$ Мгц и остальных 12 молекул. С использованием ур-ний Крейчмена и Костейна определены длины связей I
 $r(B_{(1)}-B_{(6)}) = 2,434 \pm 0,005$, $r(C_{(2)}-B_{(4)}) = 2,297 \pm 0,005$,
 $r(B_{(1)}-B_{(4)}) = 1,721 \pm 0,015$, $r(B_{(4)}-B_{(5)}) = 1,752 \pm 0,005$,
 $r(B_{(4)}-C_{(3)}) = 1,605 \pm 0,005$, $r(C_{(2)}-C_{(3)}) = 1,540 \pm 0,005$,
 $r(B_{(1)}-C_{(2)}) = 1,627 \pm 0,015$ А. Определен дипольный момент I $\mu = 1,50 \pm 0,03$ D.

А. П. Александров



1970

Becker H. J.

(C.N.)

"Colloq. Int. Cent. Nat. Rech. Sci.",
1970; N° 98, 187-94.

(c.u. H_3BNH_3 , III)

$B_2(CH_3)_4 H_2$

$B_2(CH_3)_2 H_4$
(жидк.)

спектр

КР

B-C-H

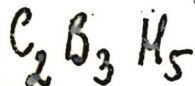
1870

24 Б185. Спектры комбинационного рассеяния метилдиборанов. I. 1,1-Диметилдиборан и тетраметилдиборан. Carpenter J. H., Jones W. J., Rotham R. W., Long L. H. The Raman spectra of the methyldiboranes. I. 1,1-dimethyldiborane and tetramethyldiborane. «Spectrochim. acta», 1970, A 26, № 6, 1199—1214 (англ.)

Исследованы спектры КР молекул тетраметилдиборана и 1,1-диметилдиборана в жидк. фазе с использованием Ar^+ -лазера в кач-ве источника возбуждения. Дано отнесение наблюдаемых полос к основным колебаниям, обертонаам и комбинац. тонам. Обсуждены также линии ИК-спектры этих молекул и предложено отнесение частот по форме колебаний. Отмечен сильный резонанс Ферми в полосах вблизи 2000 см^{-1} . М. Р. Алиев

X. 1970. 24

1990



1 Б40. Расчеты некоторых карборанов методом ППДП/2. Cheung Chun-Chung, S. Beaudet, Robert A., Segal Gerald A. CNDO/2 calculations of some carboranes. «J. Amer. Chem. Soc.», 1970, 92, № 14, 4158—4164 (англ.)

Вычисления методом ППДП/2 выполнены для изомеров след. карборанов: $\text{C}_2\text{B}_3\text{H}_5$, $\text{C}_2\text{B}_4\text{H}_6$ (I), $\text{C}_2\text{B}_5\text{H}_7$, $\text{C}_2\text{B}_{10}\text{H}_{12}$ (II). Результаты расчета геометрии: относит длины связей соотв. эксперименту (там, где он имеется), но связи В—В короче опытных. Относит стабильность изомеров вычислялась как для рассчитанной геометрии, так и для геометрии со стандартными длинами связей. Результат для группы изомеров состава II соответствует опыту, а для I — нет. Вычисленные дипольные моменты больше опытных. Картина зарядового распределения указывает на значит. перемещение заряда с атомов С на группу атомов В, причем, чем больше координац. число С, тем больше он электропо-

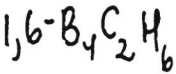
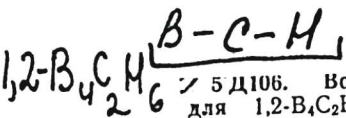
расчет
з;
изом. стр-ра

Х. 1971. 1

ложителен. Рассмотрены два механизма перегруппировки изомеров I—«dsd»-механизм и через пятигранную пирамиду, но энергии активации таких переходов оказались слишком велики: 300 и 350 ккал/моль соотв. На примере 1,6- $C_2B_4H_6$ рассмотрено влияние заместителя на смещение зарядовой плотности. Результаты обсуждаются.

В. А. Тихомиров

1970



5 Д106. Волновые функции самосогласованного поля для $1,2\text{-B}_4\text{C}_2\text{H}_6$ и $1,6\text{-B}_4\text{C}_2\text{H}_6$. Epstein Irving R., Koetzle Thomas F., Stevens Richard M., Lipscomb William N. Self-consistent-field wave functions for $1,2\text{-B}_4\text{C}_2\text{H}_6$ and $1,6\text{-B}_4\text{C}_2\text{H}_6$. «J. Amer. Chem. Soc.», 1970, 92, № 24, 7019—7024 (англ.)

Методом МО ССП в миним. базисе слэтеровских АО с оптимизированными экспонентами, рассчитаны молекулы двух изомерных карборанов $1,2\text{-B}_4\text{C}_2\text{H}_6$ и $1,6\text{-B}_4\text{C}_2\text{H}_6$, обладающих искаженной октаэдрич. структурой с симметрией C_{2v} и D_{4h} соответственно. Вычислены энергии МО и их коэф., энергии атомизации, потенциалы ионизации, заряды на атомах, заселенности связей, дипольные моменты и индексы реакционной способности. Сделан вывод, что 1,6-изомер устойчивее 1,2-изомера примерно на 15 ккал/моль. Ю. Удачин

(γ)
заряды
атомов.

ф. 1971.50

1880

By C
2H
6

7 Б49. Самосогласованные волновые функции 1,2-
 $B_4C_2H_6$ и 1,6- $B_4C_2H_6$. Epstein Irving R., Koetzle
 Thomas F., Stevens Richard M., Lipscomb
 William N. Self-consistent-field wave functions for
 1,2- $B_4C_2H_6$ and 1,6- $B_4C_2H_6$. «J. Amer. Chem. Soc.», 1970,
 92, № 24, 7019—7024 (англ.)

(
 N
 9
 расчеты)

2 изомерных карборана, 1,2- $B_4C_2H_6$ (I) и 1,6- $B_4C_2H_6$ (II), рассчитаны неэмпирич. методом ССП МО ЛКАО в
 миним. базисе слейтеровских АО, экспоненты к-рых оп-
 тимизированы в расчетах C_2H_6 и B_2H_6 . Для обеих мо-
 лекул была принята геометрия искаженного октаэдра
 симметрии C_{2v} (I) и D_{4h} (II), причем для I использо-
 ваны результаты микроволновых спектров, а для II
 геометрия принята по аналогии с I с усредненными дли-
 нами связей. Рассчитаны потенциалы ионизации по тео-

X · 1981 · 7

реме Купмэнса и энергии атомизации, оценена относит. стабильность изомеров и найдено, что II на 15 ккал/моль стабильнее чем I. Анализ заселенностей указывает на большую электроотрицательность С, чем В и малые заряды остова в хорошем согласии с оригинальными расчетами боро- и углеводородов. Заселенности перекрыва-
ний плохо коррелируют с длинами связей, особенно для связей В—В. Обсуждены данные по реакц. способности I и II в свете произведенных расчетов. Приведены коэф. занятых и 3 низших вакантных МО, карты электронной плотности, рассчитанные дипольные моменты и составляющие дипольного момента по атомам и связям.

А. Багатурьянц

$B(C_2H_5)_3$

B-C-H,

1970

Zappert M.F. u op.

(y)

oxygenate

[X]

Dsp-101-XV

J. Chem. Soc.,

A, v 13, 2320.

(C₂H₅)III

1980

BH₂ Al₃

BH(Al₃)₂

электр.
строение

10 Д142. Метилалюминиевые соединения. I. Электронная структура некоторых гидридов метилалюминия и метилбора. Levison K. A., Perkins P. G. Methylaluminium compounds. I. The electronic structure of some methylaluminium and methylboron hydrides. «Theor. chim. acta», 1970, 17, № 1, 1—14, (англ.; рез. нем., франц.)

Методом самосогласованных MO ЛКАО в приближении полного пренебрежения диффер. перекрыванием исследована электронная структура изомеров гидридов метилбора и метилалюминия. Для атома Al использован

09.1980.

102

Сер. Гасине

Al - C - H

X

базис из $3p$ -, $3s$ - и $3d$ -орбиталей. При выборе параметров считалось, что все типы орбиталей (s , p , d) имеют различные одноцентровые интегралы. Одноцентровые кулоновские интегралы, включающие $2s$ -, $2p$ -, $3s$ -, $3p$ - и $3d$ -орбитали, вычислялись неэмпирически. Двухцентровые интегралы оценивались по ф-ле Оно. Для аппроксимации $3d$ -орбиталей использовались "две" модели: 1) ядро алюминия экранируется 13 электронами, $Z_{\text{эфф}}=1$; 2) ядро экранируется 12 электронами, $Z_{\text{эфф}}=1,5$. Авторы считают, что первая модель более подходит к рассматриваемому случаю, но с целью выяснения влияния размеров $3d$ -орбиталей на электронные свойства рассматриваемых соединений был проведен расчет в двух вариантах. Выяснено влияние размеров $3d$ -орбиталей на энергию стабилизации димеров. Электронное распределение для изомеров соединений Al обладает следующими особенностями: 1) атом Al заряжен сильно отрицательно; 2) общее электронное распределение на атомах стабильно к вариации d -экспоненты; 3) изменение размеров $3d$ -орбиталей связывается только на заселенности $3d$ -орбиталей; 4) в димерах заселенность $3d$ -орбиталей много больше по сравнению с мономерами с той же самой орбитальной экспонентой. Для обоих классов рассматриваемых соединений энергетически более и менее выгодными являются конфигурации, в которых в качестве связывающего мостика выступают соответственно H и CH_3 . В соединениях, содержащих Al, отмечается значительный вклад $3d$ -орбиталей в усиление связи металл—металл. Л. Орловская

1970

B-C-H

Murphy C.B.,
Enzone R.E.

B₅H₈CH₃

B₅H₈C₂H₅

γ

Int. J. Mass Spectrom.

and Ion Phys., 1970,

5, n 1, -2, 157.

(Cu B₅H₉)¹⁴

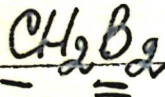
CB₅H₉

1971

27891b Microwave spectrum, structure, and dipole moment of 2-carbahexaborane(9), CB₅H₉. Beaudet, Robert A.; Cheung, Chun-Chung S. (Univ. South. California, Los Angeles, Calif.).

Inorg. Chem. 1971, 10(6), 1144-8 (Eng). The microwave spectrum of 2-carbahexaborane(9) has been studied in the region of 8-37 GHz. The rotational spectra of the normal species (all ¹¹B isotope) and 7 ¹⁰B-substituted species were assigned. The principal axis coordinates of the B atoms were calcd. from the moments of inertia of the normal species and of the 3 singly substituted ¹⁰B species. The results show that the main framework is a pentagonal pyramid. The following bond lengths were accurately detd.: $r_{B(3)-B(4)} = 1.75_0 \text{ \AA}$, $r_{B(4)-B(5)} = 1.83_0 \text{ \AA}$, $r_{B(1)-B(3)} = 1.78_2 \text{ \AA}$, and $r_{B(1)-B(4)} = 1.78_1 \text{ \AA}$. The Stark effect of the normal species and of 2 singly-substituted B(10) species was measured. The mol. dipole moment was $1.53 \pm 0.03 \text{ D}$.

C.D. 1971. 454.



1941

real.

ср.

ll. n.

(1 Д510) Микроволновый спектр дигалогенометана. Ч. I.
Молекулярная структура. Chadwick D., Mil-
len D. J. Microwave spectrum of dibromomethane.
Part 1.— Molecular structure. «Trans. Faraday Soc.»,
1971, 67, № 6, 1539—1550 (англ.)

В области 15—36 ГГц исследованы микроволны, спектры
четырех изотопич. образцов молекулы CH₂Br₂. Даны ин-
терпретация частот. Найдены вращательные постоянные.
Приведены значения структурных параметров молекул,
рассчитанные двумя методами. Структурные данные об-
суждаются в сравнении со структурными параметрами
других галогенозамещенных метанов.

Г. П.

9, 1972, 18

B-C-H

1971

B₂H₅-CH₃

(CH₃)₂BH₃

Di

2 Д574. Спектры комбинационного рассеяния метилдигоранов. II. Монометилдигоран и триметилдигоран и характеристические частоты метилдигоранов.
Carpenter J. H., Jones W. J., Jotham R. W., Long L. H. The Raman spectra of the methyldiboranes. II. Monomethyldiborane and trimethyldiborane, and characteristic frequencies of the methyldiboranes. «Spectrochim. acta», 1971, A27, № 9, 1721—1734 (англ.)

Ф. 1972. 20

Получены спектры комб. рас. моно- и триметилдибо-
ранов при комнатной т-ре и при -70°C . Дано отнесе-
ние полос, базирующееся на данных об ИК-спектрах
исследуемых молекул и спектрах комб. рас. других ме-
тилдиборанов (см. ч. I. см. РЖФиз, 1970, 12Д349).
Установлено, что характеристич. частотами в спектрах
метилдиборанов являются частоты вал. кол. концевых
групп В—Н и групп В—Н, участвующих в мостиковой
связи, вал. кол. В—В и колебаний метильной группы.
Различия в числе и положении максимумов полос в
областях характеристич. частот позволяют проводить
идентификацию различных метилдиборанов по их спект-
рам комб. рас. Частоты скелетных колебаний метилди-
боранов обнаруживают тенденцию к понижению по
мере увеличения числа метильных групп-заместителей.
Библ. 13.

В. М. Шрайбер

1871

B-C-H-coleq.Фотоэлектронный спектр

11 Б142. Фотоэлектронный спектр тривинилбора.
Holliday A. K., Reade W., Johnstone R. A. W.,
Neville A. F. Photo-electron spectrum of trivinylboron.
 «Chem. Commun», 1971, № 1, 51—52 (англ.)

Получены фотоэлектронные спектры тривинилбора (I), триэтилбора и пропена. Показано, что из сопоставления полученных для основных аднабатич. потенциалов ионизации значений, а также фотоэлектронных данных для этана и этилена, следует, что бор обладает малой величиной сопряжения в молекуле I как для случая sp^2 -гибридизации, так и для промежуточной sp^2-sp^3 гибридизации атома бора. Полученный вывод соответствует данным других спектроскопич. и хим. исследований.

О. Г. Гаркуша

Х. 1871.

11

C-H-B

1941

(69683v) Photoelectron spectrum of trivinylboron. Johnstone, Robert A. W.; Holliday, Arthur K.; Reade, W.; Neville, A. F. (Donnan Lab., Univ. Liverpool, Liverpool, Engl.). *J. Chem. Soc. D* 1971, (1), 51-2 (Eng). Similarities in the photoelectron spectra of trivinylboron and Et₂B suggest that there is only limited conjugation in the former. The 1st ionization bands of the compds. are similar in position and shape (a broad band at 9.7 eV with max. at 10.0 and 10.2 eV for the former; a broad band at 9.6 eV with max. at 10.2 and 10.6 eV for the latter). The 2nd ionization bands and vibrational structure in the remaining part of the spectra are similar to those of ethylene and ethane, resp. The first band represents ionization from essentially a B-C σ -bond. Either B in trivinylboron is sp^2 -hybridized and the vinyl groups were twisted out of the plane or there is incomplete sp^2 -hybridization.

FBJN

C.A. 1941.44.14

1941

C₂B₃H₅

C₂B₄H₆

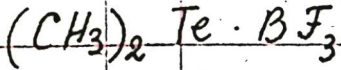
C₂B₅H₇

v_i

Pasvan cnekip.

C. A. 1942.

46.2



1971

Labarbe P.

(cuv. nocm.
8i) These doct sci phys Fac
sci Univ Bardeaux 1971,
118p, ill (sp)

(cuv. $(CH_3)_2 O$; III)

(B₉H₈ - 499 - XV)

1971

B₅H₈Cl₃
B₅H₈C₂H₅
B₅H₈C₃H₄

Murphy C.B.,
Serrone R.E.

Anal. Y. Mass Spectrum

FeI.

CP-ue

and Ion Phys, 1971,

4, N4, 324



(Cv. B₅H₉) III

1972

$C_2B_3H_5$

-> 158279x Microwave spectroscopy of boron compounds related to high temperature polymers and rubber catalysts. Beaudet, Robert A. (Dep. Chem., Univ. South. California, Los Angeles, Calif.). *U.S. Nat. Tech. Inform. Serv., AD Rep.* 1972, No. 744112, 58 pp. (Eng). Avail. NTIS. From *Govt. Rep. Announce.* (U.S.) 1972, 72(16), 69. This report summarizes the investigations of the mol. structure studies on B and carborane compds. The structures of $C_2B_3H_5$, *sym*- $C_2B_4H_6$, *asym*- $C_2B_4H_6$, $C_2B_5H_7$, CB_3H_9 , MeB_3H_8 , $(CD_2)_2BF$, $(CH_2)_2PH$ [sic], $Me(CH_2)_2PH$ [sic], $C_4B_2H_6$, CB_3H_7 , and $C_2B_3H_2$ were detd. Efficient techniques to analyze the microwave spectra were developed.

C.A.1972.77.N24.

$B(CH_3)_2$

1972

Guest M.F.,
Hillier J.H., Saunders V.R.

(Ei)

"J. Organomet. Chem."

1972, 44, N1, 59-68.

(cu₁.LiCH₃, II)

1,6- $C_2B_4H_6$

* 4 - 618

1973

18 Б70. Электронографическое определение молекулярной структуры 1,6-дикарба-клозо-гексаборана (6). Mastryukov Vladimir S., Dorofeeva Olga V., Vilkov Lev V., Zhigach Aleksei F., Laptev Vladimir T., Petrunin Andrei B. Electron diffraction determination of the molecular structure of 1,6-dicarba-closo-hexaborane(6). «J. Chem. Soc. Chem. Commun», 1973, № 8, 276—277 (англ.)

Методом газовой электронографии изучена структура молекулы 1,6-дикарба-клозо-гексаборана (6), $1,6-C_2B_4H_6$. В предположении, что молекула имеет симметрию D_{4h} , найдены след. значения межъядерных расстояний (А): B—H 1,15 (3), B—B 1,725 (12), B—C 1,635 (4), C—H 1,11 (принято). Полученные данные сопоставлены с результатами исследований аналогичных соединений.

Б. Спиридонов

X. 1973 N 18

31231.1912

Ch., TE

 $C_2H_5-B_{10}H_{13}$

41197

1973

1576

McLaughlin E., Hall L.H., Rozett R.W.

Monoisotopic mass spectra of some boranes
and borane derivatives."J. Phys. Chem.", 1973, 77, N 25,
2984-2988 (англ.)

0013 ник

1018 1021

0.06

ВИНИТИ

41120.1801

TC, Ch

CB₅H₇

29857

02

1974

* 4-7361

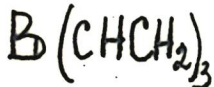
McKown Gary L., Don Betsey P., Beaudet
 Robert A., Vergamini Phillip J., Jones
 Llewellyn H. Skeletal molecular structure
of monocarbahexaborane from microwave
spectral studies.

"J. Chem. Soc. Chem. Commun's", 1974,
 № 19, 765-766 (англ.)

227

0235 ПИВНИТИ

сентябрь 2033 . 1974



17 Б229. Инфракрасные спектры и спектры комбинационного рассеяния тривинилбора: данные в пользу π -взаимодействия $B-C$. Holliday A. K., Reade W., Seddon K. R., Steer I. A. The infrared and Raman spectra of trivinylborane: evidence for $B-C$ π -bonding. «J. Organometal. Chem.», 1974, 67, № 1, 1—6 (англ.).

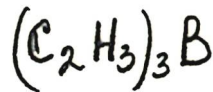
Измерены ИК-спектры (жидкость, газ) и спектры КР (жидкость, возбуждение — Ag^+ -ионный и $He-Ne$ -лазеры) тривинилбора $B(CH_2CH_3)_3$ (I). Проведено отнесение колебаний плоского скелета BC_3 (симметрия D_{3h}) и винильной группы (симметрия C_s). Молек. симметрия по данным электронографии C_{3h} . Рост частот симм. и асимм. вал. кол. $B-C$ по сравнению с триэтилбором и снижение частот вал. кол. $C=C$ по сравнению с аддуктами, где молекула I перестает быть плоской, рассматривается как довод в пользу наличия π -взаимодействия $B-C$ в I.

А. П. Курбакова

и. к. спектр

Х. 1974 № 17

1974



18 Б218. Колебательные спектры и структура тривинилборана. Odom J. D., Hall L. W., Riethmiller S., Durrig J. R. Vibrational spectra and structure of trivinylborane. «Inorg. Chem.», 1974, 13, № 1, 170—174 (англ.)

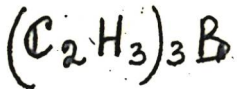
Измерены ИК-спектры ($40-4000 \text{ см}^{-1}$) газ. и тв. (-196°) тривинилборана $(C_2H_3)_3B$ (1) и спектры КР ($50-3200 \text{ см}^{-1}$) газ., жидк. и тв. I. Спектры интерпретированы в предположении существования двух конформеров в жидк. состоянии: плоского (C_{2h}) и неплоского (предположительно C_3 ; винильные группы повернуты вне плоскости); в тв. состоянии существует только плоская форма. Из т-рных измерений следует, что плоская форма примерно на 0,73 ккал/моль более устойчива по сравнению с неплоской. Предложено полное отнесение частот в спектрах тв. I. В низкочастотной области КР-спектра тв. I наблюдается по меньшей мере 10 резких линий, относящихся к межмолек. мондам, что указывает на то, что примитивная ячейка содержит более чем две молекулы. Б. В. Рассадин

м.н. д.

Х. 1974

N.18

1974



8 Д504. Колебательные спектры и структура три-винилборана. Odum J. D., Hall L. W., Riethmiller S., Durig J. R. Vibrational spectra and structure of trivinylborane. «Inorg. Chem.», 1974, 13, № 1, 170—174 (англ.)

Изучены ИК-спектры поглощения (40—4000 см⁻¹) газообразного и твердого (при —196°C) (C₂H₃)₃B, а также его спектры комб. рас. в газовой, жидкой и твердой фазах. Рассмотрены изменения спектральных параметров при фазовых переходах. Выполнено отнесение наблюдавшихся полос. В жидком состоянии доказано существование двух конформаций с плоской (C_{3h}) и неплоской (C₃, с выходом винильной группы из молекулярной плоскости) структурой; для твердого тривинилборана обнаружена только плоская конформация. Величина энергетич. барьера между вращательными изомерами оценена в 0,73 ккал/моль. Библ. 18.

С. Ф. Б.

φ. 1974. № 8

40329.3360
Ch, Ph, TC

40892 IX

1974
2342



Pasinski John P., Beaudet Robert A.

Microwave spectrum, structure, and dipole moment of 2,3,4,5-tetracarbahexaborane(6).

"J. Chem. Phys.", 1974, 61, N 2, 683-691

(англ.) 0179 [рн] |

162 165

0.177

ВИНИТИ



*4-4599

1974

15 Б69. Неэмпирические расчеты барьера вращения и длины связей винилборана. Seip Hans M., Jepsen Nagaald H. Rotational barrier and bond lengths for vinylborane determined by ab initio calculations. «Chem. Phys. Lett.», 1974, 25, № 2, 209—211 (англ.)

Неэмпирическим методом ССП МО ЛКАО исследовано электронное строение винилборана, $\text{H}_2\text{C}=\text{CH}-\text{BH}_2$. Использован базис гауссовых функций ($C, B; 7s3p H; 4s$), сгруппированный в ($4s2p2s$), а отдельные расчеты проведены в базисе ($C, B; 9s5p H; 4s$), сгруппированном в ($4s3p2s$). Проводилась частичная оптимизация геометрии. Барьер вращения вокруг связи $\text{B}-\text{C}$ оценен в $\sim 7,6$ ккал/моль. Оптимизированные длины связей $\text{C}=\text{C}$ и $\text{B}-\text{C}$ найдены равными 1,327 и 1,554 Å для плоской формы и 1,321 и 1,574 для формы с перпендикулярными группами CH_2 и BH_2 . Сравнение с лит. данными показало, что барьеры вращения для замещенных боранов убывают в ряду $\text{H}_2\text{BNH}_2 > \text{H}_2\text{BSH} > \text{H}_2\text{BOH} > \text{H}_2\text{BCH}=\text{CH}_2$.

В. Л. Лебедев

Экспр
справочник

2 1974 N 15

C-B

(винилборан)

$(C_2H_3)BH_2$

4-4599

1974

) 8 Д199. Неэмпирические расчеты вращательного барьера и длин связей в винилборане. Seip Hans M., Jensen Nagaald H. Rotational barrier and bond lengths for vinylborane determined by ab initio calculations. «Chem. Phys. Lett.», 1974, 25, № 2, 209—211 (англ.)

С базисными ф-циями $(7s3p/4s)$ и $(9s5p/4s)$ неэмпирич. методом вычислена полная энергия молекулы винилборана. Длины связей СН и ВН и углы ССН и СВН приняты равными $1,08 \text{ \AA}$; $1,19 \text{ \AA}$ и 120° . Расчеты выполнены при значениях угла вращения вокруг связи ВС 0° и 90° и при трех наборах длин связей С=С и С—В и угла ССВ. Их оптимальные значения равны $1,327 \text{ \AA}$ и $1,554 \text{ \AA}$ для плоской и $1,321 \text{ \AA}$ и $1,574 \text{ \AA}$ для перпендикулярной конформаций. Углы ССВ соответственно равны $120,6^\circ$ и $125,2^\circ$. Барьер внутреннего вращения равен 7,6 ккал/моль. При оптимальных геометрич. параметрах вычислены орбитальные энергии обеих конформаций.

М. А. Ковнер

Ф. 1974. № 8

X-459483 | 83-9483 | 1975

BCH

Gill J. D. et al

J. Am. Chem. Soc., 1975,

Rb. Mex.
nacrem

97(12), 3402-9.

C. A. 1975, 83 . N8

CII BH, III
1 -

50723.1821

Ph., TC, Ch

BCH, BCH₃

BCH₅

40771

1975

Ху-9483

Dill J. D., Schleyer P. v. R., Pople J. A. Molecular orbital theory of the electronic structure of organic compounds. XXIV. Geometries and energies of small boron compounds. Comparisons with carbocations. "J. Amer. Chem. Soc.", 1975, 97, N 12,

3402-3409

(англ.) 05 пик

391 392

897

ВИНИТИ

*US-9483

1975

H₂BCH₃

Gill J.D. et al

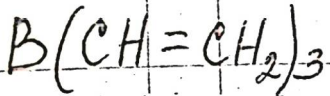
J. Am. Chem. Soc., 1975,

R.B. Mex.
pacem

97(12), 3402-9

C-A. 1975, 83, N8

Gill BPP; III



*4 - 8043

1975

) 10 Б69. Электронографическое исследование тривинилборана в парах. Foord A., Beagley B., Roade W., Steeg I. A. A gas-phase electron-diffraction study of trivinylborane. «J. Mol. Struct.», 1975, 24, № 1, 131—137 (англ.)

Соревнование
старейшины

Тривинилборан, $B(CH=CH_2)_3$, исследован методом газовой электронографии при т-ре сопла 40° . Рассматривались две модели: плоская динамич. (I) и неплоская статическая. С экспериментом лучше согласуется I, в к-рой стерич. затруднения внутри молекулы уменьшаются искажением винильных групп, а введение поправок на шринк-эффект компенсирует значительные торзионные колебания вокруг связей B—C. Основные межъядерные расстояния и углы: C—H 1,092(3), C—C 1,370(4), B—C 1,558(3) Å; $\angle BCH$ 116,5(0,9) $^\circ$, $\angle BBC$ 122,4(0,9) $^\circ$, $\angle CCH_{(транс)}$ 124,0(1,6) $^\circ$, $\angle CCH_{(пиз)}$ 132,2(2,3) $^\circ$.

И. Ронова

X. 1975 N 10

$B(CH_2=CH_2)_3$ * U-8043

1975

✓37594r Gas-phase electron-diffraction study of trivinylborane.
Foord, A.; Beagley, B.; Reade, W.; Steer, I. A. (Dep. Chem.,
Univ. Manchester Inst. Sci. Technol., Manchester, Engl.). *J.
Mol. Struct.* 1975, 24(1), 131-7 (Eng). Trivinylborane was
studied by std. electron-diffraction techniques. The best agree-
ment with expt. is obtained with a planar dynamic model in
which steric strain within the mol. is reduced by distortion of the
vinyl groups, and shrinkages simulate considerable torsional
motion about the B-C bonds. The following parameters (r_a
basis) and estd. std. deviations were obtained: C-H = $1.092 \pm$
 0.003 ; C-C = 1.370 ± 0.006 ; B-C = 1.558 ± 0.003 Å; $\angle BCH$
 $= 116.5 \pm 0.9^\circ$; $\angle BCC = 122.4 \pm 0.9^\circ$; $\angle CCH$ (trans to
B) = $124.0 \pm 1.6^\circ$; $\angle CCH$ (cis to B) = $132.2 \pm 2.3^\circ$. A static
nonplanar model was also considered. The probable planarity
of the mol. and the length of the C:C bond are interpreted as
evidence for π -electron delocalization from C to B.

Copyr.

C.A. 1975. 82 N 6

природа связи B-C

50909.7513

Ch, Ph, Ex-C

40771

B(C₂H₃)₃

1975

* 4-9732

Hall Laurence W., Odom Jerome D., Ellis
Paul D. A nuclear magnetic resonance in-
vestigation of the nature of the boron-
-carbon bond in some vinylboranes. "J.
Amer. Chem. Soc.", 1975, 97, N 16, 4527-
4531 (англ.)

426 427

4270

6200 руб.

ВИНИТИ

50610.1980

Ph, Tc, Ch

$B(C_2H_5)_3$ крп

1975

$B-C-H$ 40534

Соедин. № 4-8969

Hall L.W., Lowman D.W., Ellis P.D., Odom

J.D. Boron-carbon coupling constants. III.
Determination and calculation of J_{BC} in
some simple organoboranes.

"Inorg. Chem.", 1975, 14, № 3, 580-583

(англ.)

0382 ПИК

353 355 13 14

ВИНИТИ

CH₂B(CH₃)₂

*45-10045

1975

Hudson Andrew.

praezem
rabwo
zamerphu.

"Ther. chim acta"

1975, 38, N4, 355-58

(ann)

(eu BO; III)

51222.7271

41197

1975

Ch, Ph, TC

CH₃BH₂

* 5-10639

Trindle Carl, Weiss Lucy Cline.

Lewis orbital models of B₂H₆, CH₃BH₂,
and CH₃CH₂⁺.

"J. Phys. Chem.", 1975, 79, N 22, 2435-2439

(англ.)

См. BH₆ (III)

490 494 506

8512 REGIS

ВИНИТИ

C₂B₇H₉

XU-14120

1976

12 Д387. Микроволновый спектр, структура и дипольный момент 1,6-декарбонаборана(9). Lau Каг-Куен, Beaudet Robert A. Microwave spectrum, structure, and dipole moment of 1,6-dicarbanonaborane (9). «Inorg. Chem.», 1976, 15, № 5, 1059—1062 (англ.)

Отождествлены микроволн. спектры шести изотопич. образцов молекулы 1,6-C₂B₇H₉. Найдены элементы структуры, длины связей: $r(B_8-B_9)=1,712$; $r(B_5-B_9)=1,995$; $r(B_3-B_4)=1,976$; $r(B_7-B_9)=1,784$ и $r(B_2-B_3)$. Из измерений эффекта Штарка определен дипольный момент, равный $2,14 \pm 0,17$ ед. Дебая. Библ. 16.

*Структура
молекул*

φ 1976 N 12

C₂B₈H₁₀ (смартыч сим-лб)

1976

13 Б151. Электронографическое исследование 1,10-дикарбаклозодекаборана(10). Мастрюков В. С., Ко-чергина В. А., Голубинский А. В., Вил-ков Л. В., Захаркин Л. И., Калинин В. Н.

Рыс Е. Г. «Изв. АН СССР. Сер. хим.», 1976, № 2, 438—440

Электронографически определено строение молекулы 1,10-C₂B₈H₁₀. Показано, что эксперим. данные хорошо согласуются с моделью молекулы симметрии D_{4d}, предложенной ранее на основе спектров ЯМР. Геометрич. параметры исследуемой молекулы равны: B—C=1,60 (1) Å; B—B (базальная)=1,87 (1) Å; B—B (экваториальная)=1,80(1) Å; B—H=1,17 (3) Å и <C—B—H=135 (5,7)°. Полученные результаты сравниваются с данными для др. клозокарборанов и структурно сходных молекул.

Автореферат

X 1976 N 13

CB_5H_7

XV-3344

1976

6 Б258. Определение молекулярной структуры остояния монокарбагексаборана из микроволнового спектра.
McKown Gary L., Don Betsey P., Beaudet Robert A., Vergamini Phillip J., Jones Le-wellyn H. Skeletal molecular structure of monocarbaphexaborane from microwave spectral studies. «J. Amer. Chem. Soc.», 1976, 98, № 22, 6909—6912 (англ.)

Измерены в области частот от 8 до 38 Гц МВ-спектры десяти изотопич. образцов монокарбагексаборана, CB_5H_7 нормального (I), $2\text{-}^{10}\text{B}$, $4\text{-}^{10}\text{B}$, $6\text{-}^{10}\text{B}$, $2,6\text{-}^{10}\text{B}$, $4,6\text{-}^{10}\text{B}$, ^{12}C , ^{13}C , $2\text{-}^{10}\text{B}$, ^{13}C , $4\text{-}^{10}\text{B}$ и ^{13}C , $6\text{-}^{10}\text{B}$ в основном колебательном состоянии. Для всех образцов определены вращательные постоянные и главные моменты инерции.

Х. 1977/6-

Для I (в МГц, с точностью $\pm 0,1$ МГц) $A = 5714,38$, $B = -5642,20$, $C = 5324,22$. По эффекту Штарка второго порядка для 4 переходов определены значения компонент дипольного момента $\mu_b = 1,43 \pm 0,04$, $\mu_c = 0,06 \pm 0,04$, и полного момента $\mu = 1,43 \pm 0,04 D$. Из полученных МВ-данных вычислены координаты всех атомов, кроме атомов водорода. Длины связей в А с точностью лучше 0,01 А равны: $B(2)-B(3) = 1,87$, $B(2)-B(6) = 1,89$, $B(4)-B(5) = 1,72$, $B(5)-B(6) = 1,70$, $B(2)-B(5) = 1,70$, $B(2)-C = 1,60$, $B(4)-C = 1,63$. Определены возможные значения координат атомов водорода $H(2)$, $H(4)$, $H(6)$, H_c и H_b . Результаты сопоставлены с известными данными для родственных молекул.

С. Н. Мурзин

60512.3794
Ex-C, Ch, TC

48536
Бюл-опытный
сборник

1976
4310

(чертежи, сх.)

Haubold W., Weidlein J. Darstellung
und schwindungsspektroskopische Untersu-
chungen von Alkyl- und Arylborhalogeni-
den. "Z. anorg. und allg. Chem.", №
1976, 420, N 3, 251-260 (на м., рез. англ.)

0612 БИК

ВИНИТИ

598 599 604

60923.8707
Ch, Ph, TC

Min. 4053(1)

1976

C₂B₆H₈ (d_c)

сопряженна

1976

5-14738

Rogers Harvey N., Lau S. K., Kar-Kuen,
Beaudet Robert A.

Microwave spectrum, structure, and dipole
moment of 1,7-dicarba-closo-octaborane(8),

C₂B₈H₈

263°

"Inorg. Chem.", 1976, 15, N 8, 1775-1778
(англ.)

0714 ПМК

638 695

706

ВИНИКИ

1976

Trindle Carr, George John K.

CH_3BH_3

(pacien)
 ΔE)

Theor. chim. acta, 1975, 40,
N2, 119-127.

CH₃B₅H₈

1976

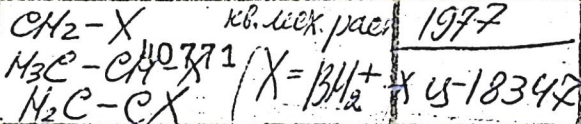
Ullman J.A., et al

(J)

J. Amer. Chem. Soc., 1976,
98, N^o 5, 1119-25

(See CQB₅H₈) III

70505.1201
Ch, Ph, TC



Apeloig Yitzhak, Schleyer Paul v.R.,
Pople J.A. Molecular orbital theory of
the electronic structure of molecules. 33.
The effect of α -electropositive substi-
tuents on the stabilities of carbenium
ions. "J. Amer. Chem. Soc.", 1977, 99,
N 5, 1291-1296 (англ.)

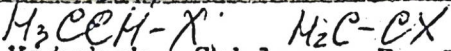
0864 ПМК

837 839 855

ВИНИТИ

70505.1201
Ch, Ph, TC

X=H⁺ Ti⁺ BeH⁺ 1977
10M1 18348



Apeloig Yitzhak, Schleyer Paul v.R.,
Pople J.A. Molecular orbital theory of
the electronic structure of molecules. 33.
The effect of α -electropositive substi-
tuents on the stabilities of carbenium
ions. "J. Amer. Chem. Soc.", 1977, 99,
N 5, 1291-1296 (англ.)

0864 ПМК

837 839 855

ВИНИТИ

$C_2B_{n-2}H_n$ Отмечено 5879 1974

З Д94. Локализованные орбитали в многоатомных молекулах. 5. Гидриды бора $B_nH_n^{2-}$ и карбораны $C_2B_{n-2}H_n$ с замкнутой структурой. Dixon D. A., Kleier D. A., Halgren T. A., Hall J. H., Lips-

Диссертация
студентка.

(см. $B_nH_n^{2-}$; 14)

ф. 1978 №3

$C_2B_3H_5^-$

$C_2B_nH_{n+2}$

modeling.
synthesis.

Omnitech 5868 1977

Fitzpatrick N.Y.

Fanning M.O.
Street.

J. Mol. Spectrosc
1977, 40, 271-277

6

CH_3BH_2

Chemical 5756

1947

Flood Ever, et al

J. Amer. Chem. Soc. 1947,
69, N^o 17, 5540-5544 (ann)

omitted.
Report in
receptor

catal. $\text{CH}_3\text{NH}_2 - \overline{\text{V}}$

C₂B₁₀H₁₂ Доля вакантных орбиталей в соединениях бора. Диссертация W. Pure and Appl. Chem.

1977

1971, № 5, 101—116 (англ.)

Изп.

Диссерт.
студент.

Обсуждено применение понятий о центральных и открытых трехцентровых связях (ТЦС), возможность существования дробных ТЦС, роль донирования электронов с обычных двухцентровых связей и сравнительное значение структур с вакантными орбиталями (СВО). Показано, что последнее определяется балансом между выигрышем энергии при заполнении ВО и напряжением: при превращении конечного атома водорода в мостиковый. Обсуждение основано на рассмотрении электронного строения большого числа соединений бора (BH_3 ; BH_5 ; B_2H_4 ; B_3H_7 ; B_3H_8^- ; B_4H_8 ; B_4H_{10} ; B_5H_9 ; B_5H_{11} ; $1,2\text{-C}_2\text{B}_4\text{H}_6$; $4,5\text{-C}_2\text{B}_4\text{H}_6$; B_8H_3^- ; B_8H_{14} ; $\text{B}_{10}\text{H}_{10}^{2-}$; $\text{B}_{10}\text{H}_{13}^-$; $\text{B}_{10}\text{H}_{14}$; $\text{B}_{10}\text{H}_{14}^{2-}$; $1,7\text{-C}_2\text{B}_{10}\text{H}_{12}$; $1,2\text{-C}_2\text{B}_{10}\text{H}_{12}$; $\text{C}_2\text{B}_{10}\text{H}_{13}^-$; $\text{B}_{16}\text{H}_{20}$; изо- $\text{B}_{18}\text{H}_{22}$; $\text{B}_{20}\text{H}_{16}$; $\text{B}_{20}\text{H}_{18}^{2-}$) с использованием локализации МО по Войсу и по Эдмистону—Рюденбергу. СВО использованы для предсказания ориентации присоединения к бороводородам H^- и BH_3 . Рассмотрен механизм отщепления H_2 от BH_5 в связи с пространственным строением последнего и механизм димеризации BH_3 .

Н. Гамбарян

Библиотека 5602

Библиотека

Х, 1978, N4

B-C
(согласно)
1977

З Б238. Частоты валентных колебаний СН, силы связей и эффекты внутреннего вращения в некоторых соединениях со связью CH_3 — бор. McKeon D. C., Bechert H. J., Gramsie F. CH stretching frequencies, bond strengths and the effects of internal rotation in some CH_3 — boron compounds. «Spectrochim. acta», 1977, A 33, № 10, 951—963 (англ.)

Изучены ИК-спектры и спектры КР в области частот вал. кол. СН и CD соединений MeBF_2 , MeBCl_2 , Me_3B и $(\text{MeBO})_3$, где $\text{Me}=\text{CH}_3$, CHD_2 и CD_3 . Дублетный характер полос вал. кол. СН для соединений с группами CHD_2 , а также расщепление частот в спектрах CH_3 - и CD_3 -пр-ных связан с изменением силы связи СН в зависимости от угла внутреннего вращения. ИК-спектры газ. CHD_2BF_2 , CHD_2BCl_2 и $(\text{CHD}_2\text{BO})_3$ показывают наличие двух полос СН: $\nu(\text{CH})_{||}$ и $\nu(\text{CH})_{\perp}$, причем $\nu(\text{CH})_{||} > \nu(\text{CH})_{\perp}$. В спектрах КР, однако, наблюдается одна поляризованная линия с частотой $\nu^{\text{ср}}(\text{CH}) = 1/2[\nu(\text{CH})_{||} + \nu(\text{CH})_{\perp}]$. В крист. фазе MeBF_2 и, вероятно, MeBCl_2 существуют в виде смеси двух конформеров, в к-рых связь СН расположена либо вертикально (I), либо в плоскости скелета молекулы (II). В кристаллах $(\text{MeBO})_3$ и Me_3B существует, по-видимому, только конформер I. Проведен расчет колебаний в области частот СН, в к-ром

ст. 411

Х, 1988,
№ 3

величины диагональных силовых постоянных и коэффициентов взаимодействия зависят от величины $\cos 2\phi$, где ϕ — угол внутреннего вращения. Отмечено, что расщепление полос групп CH_3 и CD_3 в газе носят аномальный характер. Вычисленные длины связей CH , их энергии диссоциации и величины углов HCH находятся в хорошем согласии с недавно полученными опытными величинами и результатами квантовохимических расчетов.

Резюме

илфс
и-В'

CH₃B₂H₅-

onmucu 5502 1977
XV-3607

87: 108SSSF Microwave spectrum of methyldiborane. Penn,
R. E.; Buxton, L. W. (Dep. Chem., Univ. Missouri, St. Louis,
Mo.). *J. Chem. Phys.* 1977, 67(2), 831-5 (Eng). The
microwave spectra of 8 isotopic modifications of methyldiborane
(MeB₂H₅) are reported. A convenient and general computational
scheme for the application of the method of L. Pierce(1959) of
2nd differences is described and used to det. the *r*, B...B distance
of 1.773(5) Å. Several exptl. results suggest a decrease in this
distance of ~0.007 Å upon B₂H₅-group perdeuteration. The
dipole moment is 0.566(6) D with 0.562(5) D and 0.06(3) D *a* and
b components, resp. The 3-fold Me group torsional barrier is
4.28(9) kcal/mole.

87.108SSSF

C.A.

1977.

87

N14

$\text{CH}_3\text{B}_2\text{H}_5$

XV-3604
отмечена 5502

1977

12 Д448. Микроволновой спектр метилдигорана
Ренн R. E., Бакстон L. W. Microwave spectrum
of methyldiborane. «J. Chem. Phys.»; 1977, 67, № 2,
831—835 (англ.)

М. б.
Снейф

В диапазоне 8—30 ГГц исследованы микроволны спектры восьми изотопич. модификаций молекулы $\text{CH}_3\text{B}_2\text{H}_5$ (I), измеренные на спектрометре со штарковской модуляцией. Описана общая вычислительная схема, позволяющая применять метод разностей 2-го порядка для определения структуры молекулы I. Приведены вращательные постоянные и r_s -координаты. Получено, что r_s (B...B) расстояние составляет 1,773 (5) Å и умень-

Р. 1977, N12

шается на $\sim 0,007$ Å при дейтерировании B_2H_5 -группы. Дипольный момент равен 0,566 (6) ед. Дебая с a - и b -компонентами, соответственно равными 0,562 (5) и 0,06 (3) ед. Дебая. Указана наиболее вероятная ориентация вектора дипольного момента. Определен крутильный барьер метильной группы, составляющий 4,28 (9) ккал·моль $^{-1}$. Полученные результаты подтверждают, что В...В расстояние в полностью замещенных диборанах не очень чувствительно к природе замещения.

В. В. Строгонов

Каріборанов оформл 6434 1977

1,2-C₂B₉H₆

Popovici H. E., et al.

1,6 C₂B₉H₆

Int. J. Quant. Chem.,

1977, 12, 937-61.

Molecular



Calculations,,

$\text{CH}_3\text{B}_2\text{H}_5$

отмиск 5502 1977

24 Б273. Микроволновый спектр метилдиорана.
Ренн R. E., Buxton L. W. Microwave spectrum of
methyldiborane. «J. Chem. Phys.», 1977, 67, № 2,
831—835 (англ.)

М. В. Смирнов

Измерены в области частот от 8 до 80 ГГц МВ-спектры метилдиорана, $\text{CH}_3\text{B}_2\text{H}_5$ (I) и его различных ^{10}B -, ^{11}B - и D (в группе B_2H_5)-замещенных в основном колебательном состоянии и I в ряде возбужденных колебательных состояниях. Для всех образцов и состояний определены врачательные постоянные и значения дефекта инерции. Для I в основном состоянии врачательные постоянные равны (в МГц) $A = 31781 \pm 100$, $B = -6940,505 \pm 0,02$, $C = 6194,995 \pm 0,02$. По эффекту Штарка для трех переходов I определены значения компонент дипольного момента: $|\mu_a| = 0,562(5)$, $|\mu_b| = 0,06(3)$, и полный дипольный момент $\mu = 0,566(6)D$. При некоторых

Х. 1977

№ 4

предположениях о расположении атомов водорода относительно остова CB_2 определены структурные параметры I: $r(\text{B}-\text{B}) = 1,773(5)$ Å, $r(\text{B}-\text{C}) = 1,59$ Å, $\text{LBBC} = 122^\circ$. При D-замещении для образца $\text{CH}_3\text{B}_2\text{D}_5$ расстояние $r(\text{B}-\text{B})$ равно 1,766(5) Å. Такое уменьшение длины связи B—B при D-замещении в B_2H_5 -группе согласуется с данными по электронной дифракции и МВ-данными для диборана и μ -аминодиборана. Барьер внутреннего вращения метильной группы из экспериментальных данных равен: $V_3 = 4,28(9)$ ккал/моль. С. Н. Мурзин

дигл.
от

HBCH⁻ Ommuck 10504 1977

Summers N. L. et al.

J. Amer. Chem. Soc. " 1977,
99, V12, 3960-65
(same)

CB.Mex.
paover



(cell. CF⁺; III)

HBC²⁻

Lommel 10504 | 1977

MCB²⁻

Summers N. L.; et al.

(min.)
ref. rec.
factors

J. Amer. Chem. Soc.,
1977, 99(12), 3960-65

HCB²⁻

1977

no. mex.
paper

Summers N. Z. et al,
J. Amer. Chem. Soc, "1977,
99, N12, 3960-65
(and)



(cell. CF⁺; II)

C-H-B

(CH₃)₂B₂H₄

1978

5 Б187. Инфракрасные спектры и спектры комбинационного рассеяния цис- и транс-1,2-диметилдиборана. Eggers D. F., Jr., Kohler D. A., Ritter D. M. The i.r. and Raman spectra of cis- and trans-1,2-dimethyldiborane. «Spectrochim. acta», 1978, A34, № 7—8, 731—748 (англ.).

Исследованы спектры КР в жидк. и тв. состояниях и ИК-спектры в области 4000—30 см⁻¹ газ. и тв. транс-(I) и цис-1,2-диметилдиборана (II). Используя данные по степеням деполяризации линий в спектрах КР и анализ контуров полос в ИК-спектрах газообразных I и II, предложено отнесение наблюдавшихся частот в спектрах по симметрии (молекула I относится к точечной группе C_{2h} , II — к C_{2v}) и форме колебаний. Линия 225 см⁻¹ в КР-спектре тв. I отнесена к крутильному колебанию метильных групп класса B_g . Рассчитанный барьер внутреннего вращения М. групп составляет 2,61 ккал/моль. Частота крутильного колебания для

ИК-спектра

Х.1978 N5

цис-изомера II однозначно не определена. Частоты колебаний I и II и их отнесение удовлетворительно согласуются с рассчитанными ранее значениями. Показано, что опубликованные ранее спектры 1,2-диметилдиборана и интерпретированные как спектры цис-изомера, представляли собой спектры равновесной смеси I и II. Отмечено, что частота вал. кол. ВВ-связи в различных диметил-пропеновых диборана существенно зависит от относит. положения метильных групп. Е. Б. Назарова

1978

*C₂B₅-H₉**голосеев.
стрункт.
сост. эксп.*

12 Б59. Таутомерия в монокарбагексаборане (7). Lambiris S. K., Magupick D. S., Lipscomb W. N. Tautomerism in monocarbahexaborane (7). «Inorg. Chem.», 1978, 17, № 12, 3706—3707 (ингл.)

На основании расчета монокарбогексаборана (7) (I) методом МО ЛКАО ССП в приближении частичного сохранения двухатомного дифференциального перекрытия (ЧСДДП) с оптимизацией геометрии скелета сделан вывод, что мостиковый атом Н₉ в I участвует в основном в трехцентровой связи с В₂ и В₃, а не в 4-х центровой, как предполагалось ранее, и очень слабо взаимодействует с В₆. Однако это взаимодействие может облегчить таутомерное превращение, отвечающее перестановкам атомов В₂, В₃, В₄ и В₅, через промежуточное образование структуры с мостиковой связью В₂—Н₉—В₆, что приводит к усреднению соотв. сигнала. Вычисленный барьер превращения 19,6 ккал/моль (ЧСДДП) и 22,4 (в базисе 4—31 ГФ) находится в приемлемом согласии с эксперим. значением 14±0,5. А. Клягина

x.1979/12

C₂BrH₆

1978

Ulman J. A. et al.

J. Amer Chem Soc. 1978,
100, N₂, 449-456 (anal)

spont. dec.
CH₂Cl₂



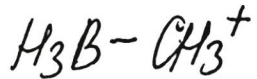
cas. B5 H₁₁ - III

$C_4B_2H_6$ Dennmarc 8542) 1979

Chester J.P., et al.

Quarmp.
enrgykt., J. Mol. Struct., 1979,
56 117 23.

4979



Uo;
kb. neex.
pacrem

(Call. H_3NBH_3 ; II)

Umezawa H., et al.,
Koen, Yoshishue - Buns-
hi Kozo Sogou Toron-
kai 1979, 280-1.

1980

$1,5-C_2B_3H_5$

18 Б69. Эффекты замещения в кластерных соединениях. 3. Структурные последствия внутримолекулярного π -взаимодействия в димере и тримере $1,5-C_2B_3H_5$. Ander sen E. L., De Cock R. L., Fehlner T. P. Substituent effects in cluster species. 3. Structural consequences of intercage π interactions in the dimer and trimer of $1,5-C_2B_3H_5$. «J. Amer. Chem. Soc.», 1980, 102, № 8, 2644—2650 (англ.)

Представлены результаты совместного эксперим. и

расчет

терп

ЧТС

Х 1980 № 18

теор. исследования димера $2,2'-(1,5\text{-C}_2\text{B}_3\text{H}_4)_2$ и тримера $2,2'-3,2-[1,5\text{-C}_2\text{B}_3\text{H}_4]_2-1,5\text{-C}_2\text{B}_3\text{H}_5$, синтезированных авторами путем пиролиза мономера $1,5\text{-C}_2\text{B}_3\text{H}_5$. Для обоих соединений сняты спектры ЯМР, ИК, фотоэлектронные спектры, а также масс-спектры, а для димера, кроме того, и спектры КР. Расчеты электронного и геометрич. строения проведены в рамках метода МНДО. Как эксперим., так и теор. данные показали, что димер и тример состоят из фрагментов $1,5\text{-C}_2\text{B}_3\text{H}_5$, связанных друг с другом одной или двумя экзополиэдрич. связями $\text{B}-\text{B}$, образованными в основном только за счет σ -взаимодействия. Найдено, что вокруг этих связей может происходить вращение фрагментов, причем в тримере оно почти свободное, а в димере найдена устойчивая конфигурация с симметрией D_{2d} . Согласно результатам анализа заселенности оптим. геометрии этой структуры обусловлена взаимодействием π -типа в направлениях под различными углами к связям $\text{B}-\text{B}$. Этой затменной конформации соответствует наиболее короткое расстояние $\text{B}-\text{B}$, миним. значение ΔH° и самый низкий ПИ с ВЗМО. Найденное межмолек. взаимодействие оказалось по характеру точно таким же, как и в изученных ранее родственных системах со связью между поверхн. орбиталями клеточной структуры и π -заместите-

С. Долин

1980

1,10- $C_2B_8H_{10}$

2 Б81. Молекулярная структура 1,10-дикарба-клозо-декаборана (10), $1,10-C_2B_8H_{10}$, определенная методом газовой электронографии. Atavin E. G., Mastrukov V. S., Golubinskii A. V., Vilkov L. V. Molecular structure of 1,10-dicarba-closo-decaborane(10), $1,10-C_2B_8H_{10}$, by gas-phase electron diffraction. «J. Mol. Struct.», 1980, 65, 259—269 (англ.)

*Молекула
структурные*

Методом газовой электронографии изучена структура молекулы 1,10-дикарба-клозо-декаборана (10). В структурном анализе использовались амплитуды колебаний и поправки на эффект сокращения, рассчитанные при помощи силового поля, перенесенного в основном из молекулы $1,6-C_2B_4H_6$. В предположении, что фрагмент C_2B_8 молекулы имеет форму двухшапочной квадратной антипризмы (симметрия D_{4d}), найдены след. значения основных межъядерных расстояний (r_g , Å) и углов (χ_α): B—C 1,602 (2), $B_2—B_3$ 1,850 (5), $B_2—B_6$ 1,829 (4), B—H 1,164 (14), C—H 1,14 (2), χ С—B—H 117,5 (1,8°). Полученные данные сопоставлены с результатами исследований др. карборанов в газовой фазе.

В. Спиридонов

X. 1981 №2

1980

10 Д400. Микроволновый спектр и дипольный момент норборана. Microwave spectrum and dipole moment of norbornane. Chorlpin A. «Chem. Phys. Lett.», 1980, 71, № 3, 503—506 (англ.)

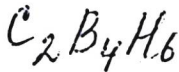
Исследован микроволни. спектр (область — 26—40 ГГц) норборана (I). Произведено отнесение линий в спектре к различным типам переходов в предположении, что симметрия молекулы C_{2v} . Оценены значения вращательных постоянных (в Мгц): $A=3694,246$; $B=3212,566$ и $C=2774,813$. Изучен эффект Штарка на полосах $5_{23}-4_{13}$ ($M=2, 3, 4$), $5_{33}-4_{23}$ ($M=1, 2, 3$) и $5_{24}-4_{14}$ ($M=2, 1$) и рассчитано значение дипольного момента I, равное $0,091 \pm 0,008$ ед. Дебая. Сопоставление вращательных постоянных с результатами теоретич. расчетов, проведенных на основании электронографич. данных, подтверждает симметрию C_{2v} молекулы I, при этом длины связей C—C в I можно расположить в следующем порядке: $C_1-C_2 < C_2-C_3, C_1-C_7$. Величина дипольного момента также находится в согласии с теоретич. оценками. Прослежено за изменением дипольного момента родственных I молекул. Б. В. Белякова

М. В. Смирнов

9 1980 № 10

отмечена 10210

1980



сродство
к протону

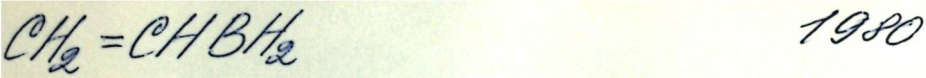
X. 1981 N 1

1 Б794. Относительное протонное сродство $1,6-C_2B_4H_6$ и $2,4-C_2B_5H_7$. Dixon David A. Relative proton affinities of $1,6-C_2B_4H_6$ and $2,4-C_2B_5H_7$. «Inorg. Chem.», 1980, 19, № 3, 593—594 (англ.)

Методом импульсного ионного циклотронного резонанса исследованы ионно-молек. р-ции клозо-карборанов $1,6-C_2B_4H_6$ (I) и $2,4-C_2B_5H_7$ (II). Наблюдались р-ции конденсации молек. ионов I и II с исходными молекулами с отщеплением H_2 . Конденсация I с протонированным ацетоном также протекает с потерей H_2 . Изучены р-ции переноса протона между карборанами и соединениями различной основности. Для сродства к протону (СП) относительно СП (NH_3) = 203,6 ккал/моль получены значения: I 208 ± 4 , II 173 ± 1 . Большая разница в СП I и II связана с тем, что ион $C_2B_4H_7^+$ изоэлектронен с нейтр. молекулой CB_5H_7 (III), в то время как для $C_2B_5H_8^+$ устойчивый нейтр. изоэлектронный аналог CB_6H_8 неизвестен. Т. о., карборан меньшего размера

легче присоединяет протон, давая более устойчивый ион, и соотв. имеет более высокое значение СП. Предполагается, что протон в I располагается в мостиковой позиции между экваториальными атомами В, как это имеет место в III.

P. Г. Сагитов



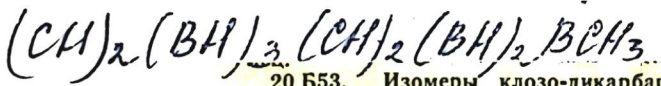
1980

Dewar et al. J. S., et al.

J. Mol. Struct., 1980, 68,
105-18.

(P_i)

cell. $B_2N_2H_8-\underline{\text{II}}$



1980

20 Б53. Изомеры клозо-дикарбапентaborана (5) и его метил- и фторопроизводных. Теоретическое исследование. Graham G. D., Matupick D. S., Lipscomb W. N. Isomers of closo-dicarbapentaborane(5) and their methyl and fluoro derivatives. A theoretical study. «J. Amer. Chem. Soc.», 1980, 102, № 9, 2939—2945 (англ.)

кв. исх.
расчет

Неэмпирическим методом ССП МО ЛКАО в рамках приближения ЧСДДП в базисах ОСТ-ЗГФ и 4-31ГФ рассчитаны относит. энергии различных изомерных геометрич. структур молекул $(\text{CH})_2(\text{BH})_3 (\text{CH})_2(\text{BH})_2 \text{BCH}_3$ и $(\text{CH})_2(\text{BF})_3$: 1,5-тригональная бипирамиды (I), 1,2-плоского кольца (II), 1,2-тригональной бипирамиды (III), 2,3-плоского квадрата, 1,3-плоского кольца и 2,3-тригональной бипирамиды. Для всех структур проведена предв. полная оптимизация всех геометрич. параметров. Показано, что для первых двух соединений наиболее устойчивым изомером является изомеры со

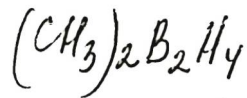
part №20

структурой I, тогда как для третьего соединения изомеры со структурами II и I обладают почти одинаковыми энергиями. Отмечено, что плоские «классические» структуры сравнимы по энергиям со структурой III и всеми др. неклассич. структурами изомеров $(CH)_2(BH)_3$ и $(CH)_2(BH)_2BCH_3$. В терминах локализованных по Бойзу MO рассмотрены некоторые механизмы изомеризации.

С. Долин



1980



18 Б107. Электронографическое исследование молекулярных структур цис- и транс-1,2-диметилдигорана.
Hedberg Lise, Hedberg Kenneth, Kohler David A., Ritter David M., Schomaker Werner. Electron-diffraction investigations of the molecular structures of cis- and trans-1,2-dimethyldiborane.

макроэл.
20.07.1980

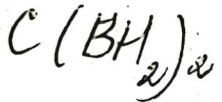
РИЧ
ЛЯМ

Х 1980 № 18

«J. Amer. Chem. Soc.», 1980, 102, № 10, 3430—3434
(англ.)

Методом газовой электронографии при комн. т-ре изучена структура молекул цис- и транс-1,2-диметилдиборана (**I** и **II** соотв.). Найдены след. значения наиболее важных межъядерных расстояний (r_a , Å), углов и амплитуд колебаний (l , Å): **I**, $r(B-B) = 1,798(7)$, $r(B-C) = 1,579(2)$, $r(B-H_{\text{мост}}) = 1,358(6)$, $r(B-H_{\text{внешн}}) = 1,239(8)$, $r(C-H) = 1,108(2)$, $\angle BBC = 122,6(5)^\circ$, $\angle BBH_{\text{внешн}} = 117^\circ$ (пр), $\angle BHC = 113,3(2,1)^\circ$, $l(B-B) = l(B-C) + 0,0100 = 0,0726(32)$, $l(B-H_{\text{мост}}) = l(B-H_{\text{внешн}}) + 0,0140 = l(C-H) + 0,0600 = 0,0865(40)$; **II** $r(B-B) = 1,799(8)$, $r(B-C) = 1,581(3)$, $r(B-H_{\text{мост}}) = 1,365(8)$, $r(B-H_{\text{внешн}}) = 1,241(10)$, $r(C-H) = 1,110(3)$, $\angle BBC = 121,8(6)^\circ$, $\angle BBH_{\text{внешн}} = 118,5(27)^\circ$, $\angle BHC = 112,5(2,6)$, $l(B-B) = l(B-C) + 0,0100 = 0,0721(33)$, $l(B-H_{\text{мост}}) = l(B-H_{\text{внешн}}) + 0,0140 = l(C-H) + 0,0600 = 0,0891(44)$. Определены также след. константы торсионного потенциала метильных групп: **I** $V_3 = 1,5$ ккал/моль, $V_6 = -0,5$ ккал/моль; **II** $V_3 = 2,0$ ккал/моль.

Б. Спиридонов



Lammarck 10169 |

1980

Pauling L.

Molecular J. Chem. Soc. Chem. Commun
1980, 688-89.

$\text{BH}_2\text{CH}_2\text{CH}_2$ | Dinnerstein 10634 | 1980.

Gross et al.

et al.

gross, West, J. Chem., 1980,

No

33, 241-8.

$\text{BH}_2\text{CH}_2\text{CH}_2^{\cdot}$

1980

Pross A., et al

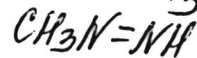
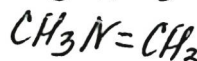
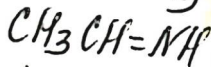
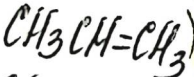
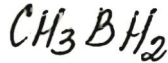
E; kb. exch.
pacrem

Tetrahedron, 1980, 36,
N 13, 1999-2003,



$(\text{CuHCH}_2\text{CH}_2^{\cdot})_{\text{III}}$

1980



кв. лек.
х 1980 № 16

16 Б67. Теоретический подход к эффектам заместителей. Структурные следствия сверхсопряжения метильной группы. Углы наклона метильной группы и длины связей C—H. Gross Addy, R adom Leo, Riggs Noel V. A theoretical approach to substituent effects. Structural consequences of methyl hyperconjugation. Methyl tilt angles and C—H bond lengths. «J. Amer. Chem. Soc.», 1980, 102, № 7, 2253—2259 (англ.)

Выполнены неэмпирические расчеты с оптимизацией геометрии в базисе OCT-3ГФ следующих молекул, содержащих метильную группу: CH_3BH_2 (I), CH_3NH_2 (II), $\text{CH}_3\text{CH}=\text{CH}_3$ (III), $\text{CH}_3\text{CH}=\text{NH}$ (IV), $\text{CH}_3\text{CH}=\text{O}$ (V), $\text{CH}_3\text{N}=\text{CH}_2$ (VI), $\text{CH}_3\text{N}=\text{NH}$ (VII) и $\text{CH}_3\text{N}=\text{O}$ (VIII). Исследован наклон метильной группы, т. е. отклонение эффективной оси симметрии этой группы от линии связи C—X (X=B, N, C). Молекулы I и II исследованы в 2 конформациях, характеризуемых плоскостным расположением связей В (соотв. N). Найдено, что результат можно объяснить с помощью качественных соображений.

жений, рассматривая взаимодействие граничных орбиталей; при этом для I решающую роль играет взаимодействие $\pi(\text{CH}_3) - p(\text{B})$, а для II — $\pi^*(\text{CH}_3) - p(\text{N})$. В молекулах III—VIII, для которых исследовались также 2 конформации, важнейшим является взаимодействие сверхсопряжения $\pi(\text{CH}_3) - \pi^*(\text{X}=\text{Y})$, V=C, N, O; при X=N на него дополнительно накладывается взаимодействие $\pi^*(\text{CH}_3)$ — непод. пара N. Последнее является причиной значит. роста абр. величины угла наклона в VI и VII по сравнению, соотв. с III и IV. Анализ оптимизированных длин связей подтверждает сделанные выводы — наблюдается удлинение связей C—H, участвующих в гиперконъюгации. Определены барьеры внутривращения CH₃-группы в III—VIII посредством расчетов в базисах OCT-3ГФ и 4—31ГФ; результаты хорошо согласуются с экспериментом. Проинтерпретированы имеющиеся в лит. результаты расчета углов наклона в молекулах CH₃CH₂⁺, CH₃CH₂⁻, CH₃NH₂ и CH₃OH.

В. Я. Беспалов

$(HBCH_2)_n$ Lommel 12894 / 1981.

$(HBCH_3)_n$ Armstrong D.R.

KB. decx,
piacer
crystallin
clay

Theor. chim. acta,
1981, 60, 159 - 172.

$B(CH_3)_3$

1981

Balasei Bramaria K.

lemon
pacifica

J. Chem. Phys., 1981,
75, N9, 4572 - 4585.

(ccs. N_2H_4 ; II)

4-CB₈H₁₄

1981

6 Б75. Электронное строение и спектры ЯМР ¹¹B девятивершинных гетероборанов: 4-CB₈H₁₄, 4-NB₈H₁₃, 4-SB₈H₁₂ и 4,6-C₂B₇H₁₃. Dolanský J., Nejedlánek S., Zahradník R. Electronic structure and ¹¹B-NMR spectra of nine-vertex heteroboranes: 4-CB₈H₁₄, 4-NB₈H₁₃, 4-SB₈H₁₂ and 4,6-C₂B₇H₁₃. «Collect. Czech. Chem. Commun.», 1981, 46, № 10, 2479—2493 (англ.)

Спектр

Измерены и отнесены спектры ЯМР ¹¹B девятивершинных гетероборанов 4-CB₈H₁₄, 4-NB₈H₁₃, 4-SB₈H₁₂ и 4,6-C₂B₇H₁₃. Проведены расчеты этих молекул неэмпирич. методом ССП МО в базисе ОСТ-3 ГФ и полуэмпирич. методом ППДП/2. Приведены разные характеристики зарядов на атомах и связей между атомами. Гетероатомы азот и углерод являются акцепторами электронов, ближайшие к ним и антиподный атомы бора несут положительный, а атомы в мета-положении отриц. заряды. С увеличением координац. числа электронная плотность на атомах бора падает. Между хим.

17

(+3)

X. 1982, 19, №.

сдвигами на атомах бора и различными характеристиками их зарядов наблюдается корреляция. Теснее всего корреляция между хим. сдвигами и заселенностью $2p$ -АО бора в методе ППДП/2. Введение гетероатомов приводит к увеличению локализации связей с соседними краевыми атомами бора. Этот эффект заметнее всего в случае азота, слабее для углерода и меньше всего для серы. Отмечается заметное участие неподеленных пар гетероатомов в скелетном связывании. Н. Гамбарян

нени
C)

$4,6-\text{C}_2\text{B}_7\text{H}_{13}$

1981

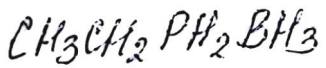
Dolanský J., et al.

Collect. Czech. Chem.

český

Commun., 1981, 46, N_C,
2479-2493.

(corr. $4-\text{CB}_8\text{H}_{14}$; ??)



January 12 1987 / 1987

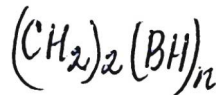


Dwight Y. R., et al.

M. B. Cvetković
M. M. Češkić
M. N.

J. Chem. Phys., 1987,
75(4), 1644-49.

1981



$n=1, 2$

Кр. мк.
рачесн.
моделюг.
сигукурга

20 Б32. Ароматичность малых циклов, содержащих атомы бора и углерода $[(CH_2)_2(BH)_n, n=1, 2]$. Сопоставление с изоэлектронными карбкатионами. Определяющая роль смешивания орбиталей и невалентных 1,3-взаимодействий в (определении) структур четырехчленных циклов. Krogh-Jespersen K., Søttrup D., Dill J. D., Pople J. A., Schleyer P. v. R. Aromaticity in small rings containing boron and carbon $((CH_2)(BH)_n, n=1, 2)$. Comparisons with isoelectronic carbocations. The decisive roles of orbital mixing and nonbonded 1,3-interactions in the structures of four-membered rings. «J. Amer. Chem. Soc.», 1981, 103, № 10, 2589—2594 (англ.)

Неэмпирическим методом ССП МО ЛКАО в базисах OCT-3ГФ (A), OCT 4-31ГФ (B) и OCT 6-31ГФ* (C) рассчитаны борирен (I), бориран (II), 1,3-диборетен (III), 1,2-диборетен (IV), 1,3-диборетан (V), 1,2-диборетан (VI), циклобутадиен дикатион (VII) и 1,3-цикло-бутанилиден дикатион (VIII). Структуры I—VIII определены оптимизацией геометрии в базисе A, а для I—V, VII и VIII — также в базисе B. Энергии получены

X.20.1981

ных структур рассчитывались в базисе *C* и в базисе *B* с учетом электронной корреляции во 2-м порядке теории возмущений. Проанализированы заряды на атомах и орбитальные заселенности I—VIII. Наиболее стабильным изомером формулы $(\text{CH}_2)_2(\text{BH})_2$ найдена неплоская структура III (симметрия C_{2v}), к-рая в зависимости от метода расчета на 6,9—16,1 ккал/моль стабильнее IV и на 12,1—15,8 ккал/моль стабильнее плоской структуры III симметрии D_{2h} . Изоэлектронный с III дикатион VII также имеет неплоскую структуру. Барьер инверсии в VII равен (ккал/моль): 6,1 (базис *C*), 5,8 (базис *B* с учетом электронной корреляции). В обоих случаях смягчение четырехчленного цикла объясняется невалентными 1,3-взаимодействиями дестабилизирующими плоскую структуру. На основе полученных данных вычислены энергии гидрогенизации I, III, IV и VII, к-рые оказались равны (ккал/моль, расчет в базисе *C*): I — 21,3, III — 30,6, IV — 17,7, VII — 25,7. Сопоставление с лит. данными показывает, что резонансные энергии I и III составляют почти 70% от резонансных энергий соответствующих изоэлектронных систем: циклопропениевого катиона и VII.

В. Фаустов

$(CH_3)_3B$

[Ommek 15841]

1982

Bews J. R., Glidewell C,

Dchegu,
Monkeen-
Cnrykm.,
neopen.
pacem

J. Mol. Street., 1982,

90, N1-2, Suppl.; Theo

Chem.", 7, N1-2,

151-163

B₂H₅CH₃

1982

17 Б258. Определение молекулярной структуры метилдиборана. Chiu C. W., Burg A. B., Beaudet R. A. Molecular structure determination of methyl-diborane. «Inorg. Chem.», 1982, 21, № 3, 1204—1208 (англ.)

Измерены в области частот 18,5—40,0 ГГц МВ-спектры метилдиборана $B_2H_5CH_3$ (I) и (9) его ^{10}B -D-изотопозамещенных, в основном колебательном состоянии. Анализ спектров выполнен в приближении модели жесткого асимм. волчка с учетом внутреннего вращения метильной группы. Вращательные постоянные I равны (в МГц) $A = 31\ 992(109)$, $B = 6940,74(12)$, $C = 6194,85(10)$. При заданной структуре метильной группы определены структурные параметры I. По $A-E$ расщеплению линий оценена величина барьера внутреннего вращения $V_3 = 2,5(5)$ ккал/моль. С. Н. Мурзин

*Холеметрия,
Структура,
16*

X, 1982, 19, N 17.

1982

$\text{BH}_2\text{CH}_2\text{CH}_2\text{BH}_2$

5 Б59. Теоретическое исследование путей реакций.
Диборирование этилена. Theoretical study of reaction
paths. Diboration of ethylene. Chadha Rita,
Ray N. K. «J. Phys. Chem.», 1982, 86, № 17, 3293—
3294 (англ.)

Методом ССП МО ЛКАО в приближении МПДП рассчитаны реагенты, интермедиат, переходные состояния (ПС) и продукт р-ции $\text{C}_2\text{H}_4 + \text{B}_2\text{H}_4 \rightarrow \text{BH}_2\text{CH}_2\text{CH}_2\text{BH}_2$ (I). Варьировали все независимые степени свободы. При расчетах ПС в кач-ве координаты р-ции использовались расстояние $\text{C}^1 - \text{B}^1$. Расчеты свидетельствуют о двухстадийном механизме присоединения. На первой, лимитирующей стадии образуется трехцентровый π-комплекс I, В интермедиате I расстояния B^1C^1 и B^1C^2 составляют 1,704 и, соотв., 1,713 Å. На второй стадии I переходит в продукт р-ции I. Расстояние B^1C^1 составляет в первом ПС 2,100 Å, во втором ПС — 1,692 Å. Первой стадии отвечает энергия активации E_a 16,7 ккал/моль, второй стадии E_a — 1,4 ккал/моль. Вычисленная энталпия р-ции I равна —31,5 ккал/моль. Приведены заряды на атомах в найденных стационарных точках.

В. Фаустов

расчет
ионизр.,
структур.,
DH

X. 1983, 19, N5

$(BH_n)_2 C$

$n = 1, 2, 3$

pacem,
noecep.,
cūpykū,
cocl. noēū,

$\Delta H_f.$

1982

Cuthbertson A.F.,
et al.

J. Mol. Struct., 1982,
87, N1, (Theochem, 1982,
4, N1) ● YY-YY.
(cu. $[Be^{2+}Hn]_2 C$; iii)

$(BH_3)_2 C$

1982

Cuthbertson A. F.,
Glidewell Ch.

Wodleeeep,

ceupykmypa, J. Mol. Struct., 1982

ΔE

87, N1, Theochem, 1982,

4, N1, H-79.

(cell. $(BeH_3)C$; III)

HCB

1982

Deb M.B., Bhattacharjan
Beeta D.

শেওর.
পাত্রীয়
সেপ্টেম্বের
৪ সেপ্টেম্বের

Indian J. Pure Appl.
Phys. 1982, 20(5), 360-
-371

(See H.C. Li; III)

Me_2B^+

1982

7 Б144. Химия положительных ионов триметилбора и триметилалюминия в газовой фазе. Gas-phase positive-ion chemistry of trimethylboron and trimethylaluminum. Kappes Manfred M., Uppal Jack S., Staley Ralph H. «Organometallics», 1982, 1, № 10, 1303—1307 (англ.)

Методом ионного циклотронного резонанса изучены ион-молек. р-ции и с участием ионов $\text{Me}_2\mathcal{E}^+$, где $\mathcal{E}=\text{B}$ или Al . Взаимодействие этих ионов с алкилгалогенидами (RX) проходит по нескольким направлениям, что определяется природой RX . Для EtCl и PrCl взаимодействие с Me_2Al^+ приводит к ионам $\text{Me}_2\text{Al}(\text{R}-\text{H})^+$ и $\text{Me}_2\text{Al}(\text{HX})^+$. В тех случаях, когда величина сродства к галогену для R^+ ниже, чем для катионов $\text{Me}_2\mathcal{E}^+$, происходит образование ионов Me_2AlX и R^+ . Получены величины сродства Me_2B^+ и Me_2Al^+ к Cl^- , равные $192,5 \pm 3$ и 185 ± 5 ккал/моль, и к F^- , составляющие $238,5 \pm 3$ и 228 ± 8 ккал/моль соотв. Нейтр. молекулы Me_3B способны переносить анион Me^- к CF_3^+ и CF_2Cl^+ .

$\text{Ac}^-; \text{A}_\text{F}^-;$

X. 1983, 19, N 7

$\text{Me}_2\text{Al}^+ (\text{Ac}^-, \text{A}_\text{F}^-)$

что дает величину $D(\text{Me}_2\text{B}^+ - \text{Me}^-) = 250 \pm 15$ ккал/моль. На основании изучения переноса H^- от Me_3B к различным катионам определена величина сродства $\text{Me}_2\text{B}^+ = \text{CH}_2^+$ к гидриданиону ($260,5 \pm 5$ ккал/моль). Из данных по замещению лиганда установлена способность различных соединений к образованию комплексов с Me_2B^+ и Me_2Al^+ . Для Me_2B^+ увеличение прочности связи происходит в ряду $\text{L}-\text{Me}_2\text{S} < \text{MeCN} < \text{PhOMe} < \text{Me}_2\text{O} < \text{PhCN} < \text{Py}$, а для Me_2Al^+ — в ряду $\text{L}-\text{Me}_3\text{Al} < \text{Me}_2\text{S} < \text{PhOMe} < \text{Me}_2\text{O} < \text{MeCN} < \text{Et}_2\text{O} \approx (\text{изо-Pr})_2\text{O} < \text{PhCN} < \text{Me}_3\text{N} < \text{Py}$. В случае Me_2Al^+ наряду с ионами Me_2AlL^+ происходит образование ионов $\text{Me}_2\text{Al}(\text{L})_2^+$.

Д. В. Загоревский

лек-
кан:

HCB

(D.M.I.I.C.R. 15870)

1982

Chahajan G. A., Deb B. M.,
Strykowska,
Meopem. Indian J. Pure and
Appl. Phys., 1982, 20,
N^o, 527-537.

$C_2(CH_3)_2B_{10}H_{10}$

1982

16 Б92. Электронографическое исследование строения молекулы 1,12-диметил-1,12-дикарба-клозо-додекаборана (12) $C_2(CH_3)_2B_{10}H_{10}$ в газовой фазе: Масрюков В. С., Атавин Е. Г., Голубинский А. В., Вилков Л. В., Станко В. И., Гольтиян Ю. В. «Ж. структур. химии», 1982, 23, № 1, 51—55

геометрия,
структура

Строение молекулы $C_2(CH_3)_2B_{10}H_{10}$ определено методом газовой электронографии. Амплитуды колебаний и поправки на эффект сокращения рассчитаны из спектроскопич. данных. Геометрич. параметры молекулы разны (rg , $\Phi\alpha$): $B-C$ 1,716 (13), $B_{(2)}-B_{(3)}$ 1,777(7), $B_{(2)}-B_{(7)}$ 1,766(20), $C-C$ 1,533(19), $B-H$ 1,216(19), $C-H$ 1,088(33) Å, углы VBN 129(4), CCH 108(9)°.

Резюме

Х. 1982, 19, N 16.

$C_2 B_6 H_6$

1982

Pelin W. Kevin., Spalding Trevor R., et al.

20. unpubl.,
Empykkmyse

J. Chem. Res. Syrop.,
1982, N5, 120. J. Chem. Res.
Microfiche, 1982, N13-N14,

1335-1358.

(err. $B_6 H_6^{2-}$; III)

C_2ByH_6

1982

Perkins P. G., et al.

Meng
Kanazawa-
Yuu
Ogumae

J. Chem. Soc. Faraday
Trans., 1982, Part 2,
78, N^o 2, 285-296.

(c.c.u. CO_2 ; T)



1982

Spitznagel G.W.,
Clark T., et al.

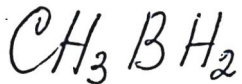
paorii

zvoleenip., J. Comput. Chem.

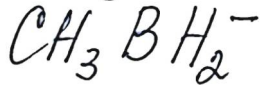
ceirrykuu., 1982, 3, 113, 363-371.

Ae, A.H.

(aer. HCH_2^- ; III)



1982



Spitznagel G.W.,
Clark T., et al.

pacreev

recomend.,

superkut., 1982, 3, N3, 363-371.

He, AH.

(car. HCH_2^- , III)



1982

Von Ragueé Schleyer
Paul, Kos A. J., et al.

нобесх.

ном.

змерих

J. Amer. Chem. Soc.,
1982, 104, N 13, 3771-
3773.

(au. $\text{C}_2\text{H}_6^{2+}$; I)

1,1-(CH₃)₂B₂H₄

1983

18 Б245. Микроволновый спектр, дипольный момент и барьер внутреннего вращения 1,1-диметилборана. Microwave spectrum, dipole moment, barrier to internal rotation of 1,1-dimethyldiborane. Chiu C. W., Burg A. B., Beaudet R. A. «J. Chem. Phys.», 1983, 78, № 6, Pt 2, 3562—3566 (англ.)

Измерены в области частот 18,0—40,0 ГГц МВ-спектры четырех изотопич. образцов 1,1-диметилборана, нормального образца 1,1-(CH₃)₂B₂H₄ (I) и ¹⁰B₁-, ¹⁰B₂-, D-изотопозамещенных образцов, в основном колебательном состоянии. Анализ спектров выполнен в приближении модели жесткого сплюснутого асимм. волчка с учетом внутреннего вращения двух волчков. Для I вращательные постоянные равны в МГц $A = 7070,68(7)$, $B = 6606,57(3)$, $C = 3660,33(1)$. На основе полученных данных для четырех изотопич. образцов вычислена длина связи $r(B-B) = 1,76(2)\text{ \AA}$ и оценены структурные параметры $r(B_1-C) = 1,59\text{ \AA}$, $\angle CBC = 121,2^\circ$. По эффекту Штарка второго порядка для двух переходов опре-

мл., центр,
структур

X. 1983, 19, N 18

делен дипольный момент $\mu=0,87(3)$ D. Из анализа расщепления МВ-переходов из-за внутреннего вращения в предположении, что нет взаимодействия между внутренними волчками, оценены параметры волчков и определена величина барьера внутреннего вращения $V=1,39(16)$ ккал/моль. Полученные результаты согласуются с известными данными для родственных молекул.

С. Н. Мурзин

$(H_3B)_3C^+$ / Ommrich 16400/ 1983

Certhbertson A. F.,
Clidewell Ch.,
J. Mol. Struct., 1983, 92,
N3-4, Suppl., "Theochem";
9, N3-4, 353-359.

$C_2B_5H_9$

$C_2B_nH_{n+2}$
 $(n=3,4,5,10)$

Ap, neopent.
 pacniem

On. 19082

1983

Dekock R. L., Jasperse
C. P.,
Inorg. Chem., 1983,
22, N 26, 3843-3848

$C_2B_7H_9$ 1983

O'Neill M.E., Wade K.

Ref;
Polyhedron, 1983, 2,
N9, 963-966.

(C₂H₉B₇; III)

$B(CH_2)_2$

1984

Abramowitz, S.

Thermochem. and Appl. Chem.
and Biochem. Syst. Proc. NATC
Adv. Study Inst. Thermochem
Today and Role Immediate
Future; Viana do Castelo, July
5-15, 1982. Dordrecht 'e. q.'
1984, 789-802. (see Bl. SH(D), III)

Vi, 110,
1 S;

$B_2H_5CH_3$

1984

5 Б1067. Неэмпирический расчет квадратичного силового поля метилдигорана. An ab initio quadratic force field for methyldiborane. Keeports David D., Eggers David F. «Inorg. Chem.», 1984, 23, № 116, 2505—2509 (англ.)

Рассчитанное методом ССП с базисом 4—21 ГФ силовое поле молекулы $B_2H_5CH_3$ (I) модифицировано с помощью масштабирующих множителей, перенесенных из молекул дигорана и этана, и затем уточнено МНК по эксперим. частотам колебаний I и $B_2D_5CH_3$. Обсуждено отнесение эксперим. частот. Вычисл. интенсивности колебаний в ИК-спектре по порядку величин согласуются с наблюдаемыми. Определен барьер вращения метильной группы: 7,37 кДж/моль. В. Г. Соломоник

Di, No;

X. 1985, 19, N5

(Om. 20469)

1984

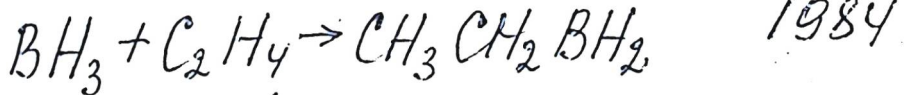
B₂H₅CH₃

B₂D₅CH₃

and none,
ab initio
pacem

Keeports D.D., Eggers
D.F.,

Inorg. Chem., 1984, 23,
N₁₆, 2805-2809.



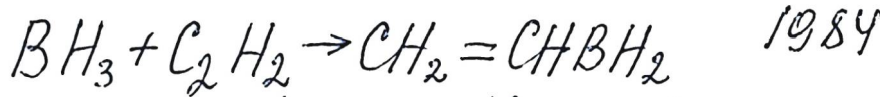
1984

Sara M., Leroy G.

Радиоактивный
изотопный
анализ
импульсно-
импульсной

X. Mol. Struct., 1984,
109, N 3-4; Suppl.: Theo-
chem, 18, N 3-4, 251-269.

(одн. $B_2H_2^{2-}$; III)



Sana et.; Leroy G.

Picerini
Zelcerini,
Empyk-
mypo

J. Mol. Struct., 1984,
109, n 3-4, Suppl.: Theo-
chem, 18, n 3-4, 251-269.

(ed. $B_2H_2^{2-}$; III)

C₂B₂H₄

DM 21730

1985

1 Б1084. Необычные структуры изомеров C₂B₂H₄. Remarkable Structures of C₂B₂H₄ isomers. Budzelaag P. H. M.; Krogh-Jespersen K., Clark T., Schleyer P. von R. «J. Amer. Chem. Soc.», 1985, 107, № 9, 2773—2779 (англ.)

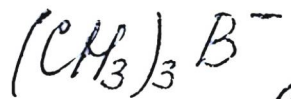
Неэмпирическим методом ССП МО ЛКАО в базисах 3-21ГФ, 6-31ГФ, 6-31ГФ*, 6-31ГФ** с учетом электронной корреляции в рамках теории возмущений Меллера—Плессета 2- и 3-го порядков, при полной оптимизации геометрич. параметров проведены расчеты 21 возможного изомера C₂B₂H₄. Наиболее устойчивым найден четырехчленный циклич. изомер типа CH₂BCH₂H с внутримолекулярно координированными атомами В и формально двойной связью BC. Аналогичный циклич. изомер типа CHBHCH₂H имеет на 5 ккал/моль более высокую энергию и неплоскую структуру четырехчленного кольца. Открытые структуры с тройными связями, а также структуры с трехчленными циклами на 15—65 ккал/моль менее стабильны указанных выше. Устойчивость рассмотренных систем сравнивается с относит. устойчивостью соотв. изомеров C₄H₄. Основное отличие в факторах, влияющих на относит. стабильность этих

*Четырехчленная
структура*

X. 1986, 19, N 1

систем, объяснено возможностью внутримолек. коорди-
нации типа В.:В в первых. И. Абронин





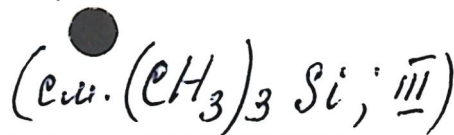
1985

Carmichael Ian.,

romesec. J. Phys. Chem. 1985,
nokepxu., 89, N22, 4727-4732.

Kb. eeex.

paerim.



HCB
HBC

1985

4 Д65. Теоретическое сопоставление низколежащих синглетных и триплетных состояний молекул HCB и HBC. A theoretical comparison of the lowest-lying singlet and triplet states of HCB and HBC. Luke Brian T., Pople John A., Schleyer Paul von Ragué. «Chem. Phys. Lett.», 1985, 122, № 1—2, 19—22 (англ.)

В приближении ССП с использованием базиса группированных гауссиан 6—31 ГФ* найдены стационарные точки поверхностей потенц. энергии (ПЭ) низколежащих электронных состояний молекулы HCB, вторые производные ПЭ по смещениям ядер в этих точках, гармонич. частоты колебаний молекулы и энергии нулевых колебательных уровней. Корреляционные поправки к значениям ПЭ в стационарных точках оценены в 4-м порядке теории возмущений Меллера — Плессетта. Показано, что глобальный минимум ПЭ молекулы соответствует линейной конфигурации Н—В—С

д.н.

φ 1986, 18, N 4

и электронному состоянию $^3\Pi$. Минимум ПЭ изомера HСВ также достигается при линейном расположении ядер (электронное состояние $^3\Sigma^-$); этот минимум лежит на 3,9 ккал/моль выше глобального. Высота барьера изомеризации составляет 23,7 ккал/моль, поэтому оба изомера должны наблюдаться экспериментально. Состояния $^1\Sigma$, соответствующие классич. структурам с тройной связью В—С, характеризуются относительно высокой энергией.

А. В. Зайцевский

HCB
HBC

(On. №22951)

1985

4 Б1030. Теоретическое сравнение низколежащих синглетных и триплетных состояний HCB и HBC. A theoretical comparison of the lowest-lying singlet and triplet states of HCB and HBC. Luke Brian T., Popple John A., Schleyer Paul von Ragué. «Chem. Phys. Lett.», 1985, 122, № 1—2, 19—22 (англ.)

Рассчитаны энергии ряда низколежащих синглетных и триплетных состояний HCB и HBC. Геометрия оптимизирована спин-ограниченным (для синглетных состояний) и спин-неограниченным (для триплетных состояний) методом ССП в базисе 6-31 ГФ*. Для всех изу-

расчетов

⑦ HBC

X. 1986, 19, № 7.

ченных состояний HCB и HBC равновесными являются линейные конфигурации; для них приведены равновесные расстояния и колебательные частоты. Энергии при равновесной геометрии рассчитаны с учетом корреляции по теории возмущений Меллера—Плессета 4-го порядка в базисе 6—311 ГФ**. Разность энергий HBC и HCB ($^3\Sigma^-$ и $^3\Pi$ соотв.) 3,9 ккал/моль (энергия HCB ниже). Для HCB энергия состояния $^3\Sigma^-$ на 12,7 ккал/моль выше энергии $^3\Pi$, а для HBC энергия $^3\Pi$ на 9,4 ккал/моль выше энергии $^3\Sigma^-$.

А. А. Сафонов

CH_3BH_2

1985

Reed Flan E.,
Weinstock Robert B.,
et al.

ab initio
pacrem

J. Chem. Phys. 1985,
83 (2), 735-46,

(C₂H₃F; III)

$B(CH_3)_3$

1985

Schilder Helmut,
Schleker W.

M. n.

Z. Naturforsch., 1985,
A 40, N 12, 1265-1270.

(c.u. $Al(CH_3)_3$; II)

1,6-С₂В₄Н₆

1985

и др.

10 Д150. Связь в кластерах. Ч. 7. Протонирование шестивершинных клозо-боранов и клозо-карборанов: исследование с помощью неэмпирических расчетов. Bonding in clusters. Part 7. Protonation of six-apex closo-boranes and closo-carboranes: an ab initio calculational study. Whelan Tom, Brin Paul. «J. Chem. Soc. Faraday Trans.», 1985, Pt 2, 81, № 2, 267—276 (англ.)

Неэмпирическим методом ССП МО ЛКАО в базисе ОСТ-ЗГФ с оптимизацией геометрии исследовано электронное строение 1,6-С₂В₄Н₆ (I), 1,6-С₂В₄Н₇⁺ (II), СВ₅Н₇ (III), В₆Н₇⁻ (IV) и 1,2-С₂В₄Н₇⁺ (V). Рассчитанное средство к протону и равновесная геометрия I согласуются с эксперим. данными. Показано, что энергетич. эффект при протонировании на ~80% обусловлен подходом протона и лишь на ~20% — перестройкой системы, хотя конечная геометрия протонированной системы может сильно отличаться от исходной геометрии непротонированной системы. Положение протонирования,

геометрия
структура

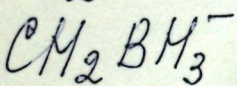
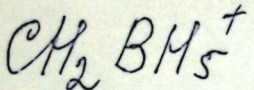
оф. 1985, 18, № 70

Вс Н₇⁻

определяется структурой высшей занятой МО (ВЗМО).
Различия в геометрии II—V объяснены различным
строением ВЗМО. Подчеркнуто, что ВЗМО обладает
лишь слабосвязывающим характером. На этой основе
проведена экстраполяция на случай более крупных
боранов и карборанов и обсуждена их реакционная
способность. Ч. 6 см. Brinl P. et al. I. «J. Chem. Soc.
Dalton. Trans.», 1983, 975.

В. Л. Лебедев





1986

Armstrong D. R.
Walker G. T.

M. N.

J. Mol. Struct. Theo-
chem., 1986, 139, N1-2,

47 - 62.

(ccs. CH_2NBH_2 ; II)

$(CH_3)_3B^-$

1986

Д10 Д80. Неэмпирические МО расчеты «изолированных» колебательных частот в радикалах AMe_3 и ион-радикалах ($A=B^-$, C , N^+ , Al^- , Si , P^+). Ab initio molecular orbital calculations on «isolated» vibrational frequencies in AMe_3 radicals and radical ions ($A=B^-$, C , N^+ , Al^- , Si , P^+). Сармичаэль. Иап. «J. Phys. Chem.», 1986, 90, № 10, 2057—2060 (англ.)

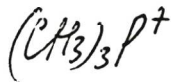
Обнаружена линейная корреляция между неэмпирическими оценками длин связи С—Н в радикалах и ион-радикалах, указанных в заголовке, и теоретически определенными гармонич. частотами для изолированных колебаний С—Н. Расчеты ССП МО в приближении неограниченного метода Хартри—Фока в сочетании с аналитической процедурой для силовых постоянных использованы для получения указанных частот. Рассчитанные данные приведены к эксперим. значениям путем сопоставления с хорошо изученными изолированными колебаниями в молекулах триметиламина, триметилфосфина и триметил-

сб. 1986, 18, № 10

75

$(CH_3)_3C$, $(CH_3)_3N^+$,
 $(CH_3)_3Al^-$, $(CH_3)_3Si^-$

борана. Получены относительно точные оценки для до-
сих пор не наблюдавшихся изолированных колебаний
 ^{13}C —Н в указанных системах АМе₃. Показано, что мож-
но получить также частоты колебаний С—D и С—Ми
в дейтерий- и мюонийсодержащих радикалах. Н.В. В.



CHBH_2 Om. 26557 1986
 $\text{C}(\text{BH}_2)_2$

meop.
paracrem
муниче
закрепл.
состоит,
 $\Delta_fH.$

Farràs J., Olivella J.,
Sole' A., et al.,

J. Comput. Chem., 1986,
7, NY, 428-442.

$C_2B_3H_5$

1986

№ 17 Б1066. Изомеры $C_2B_3H_5$ и механизм псевдовращательной перегруппировки. Isomers of $C_2B_3H_5$ and the diamond-square-diamond rearrangement mechanism. Gimarc B. M., Ott J. J. «Inorg. Chem.», 1986, 25, № 1, 83—85 (англ.)

Расчет по РМХ начальной, конечной и промежуточных стадий гипотетич. перегруппировки тригонально-бипирамидальных карборанов $C_2B_3H_5$, протекающей через тетрагонально-пирамидальные структуры (типа псевдовращения по Берри) показал, что взаимные переходы изомеров с аксиальным, аксиально-экваториальным и экваториальным расположением атомов С запрещен по симметрии. В соответствии с данными структурных исследований, указанные изомерные карбораны являются стереохимически жесткими. Ю. Л. Словохотов

(м.н.)

Х. 1986, 19, № 17

CH_3BH_2 1986

CH_3OBH_2 Hayes Roger, N.,
Sheldor John C.,
et al.

Organometallics,
1986, 5, N1, 162-167.

(catal. CH_3O^- ; III)

1986

CH₃OBH₂
и др.

*D_i, центр
структура,
м.л.*

19 Б1360. Микроволновый спектр, структура, дипольный момент, постоянные квадрупольного взаимодействия и барьер внутреннего вращения метоксиборана, CH₃OBH₂. Microwave spectrum, structure, dipole moment, quadrupole coupling constants, and barrier to internal rotation of methoxyborane, CH₃OBH₂. Kawashima Y., Takeo H., Matsumura C. «J. Mol. Spectrosc.», 1986, 116, № 1, 23—32 (англ.)

На штарковском микроволновом МВ-спектрометре в обл. частот 19—58 ГГц измерены вращат. спектры пяти изотопич. образцов метоксиборана, CH₃O¹¹BH₂ (I), CH₃O¹⁰BH₂, ¹³CH₃O¹¹BH₂, CH₃O¹¹BD₂ и CD₃O¹¹BH₂ в основном колебат. состоянии. Нестабильные образцы метоксиборана получены в результате хим. р-ции между дибораном и метанолом или дибораном и формальдегидом. В приближении жесткого асимм. волчка с учетом внутр. вращения по методу главных осей определены вращат. постоянные, барьеры внутр. вращения и постоянные ¹¹B-ядерного квадрупольного взаимодействия. Полный дипольный момент I равен $\mu = 1,61(10)$ Д. На основе МО-расчета определена r_0 -структура I.

С. Н. Мурзин

X. 1986, 19, N 19

$(CH_3)_3N^{\prime\prime}BH_3$

1986

19 Б1361. Сверхтонкая структура в микроволновом спектре молекулы триметил-амин-бора, обусловленная ядрами азота и бора. Boron and nitrogen hyperfine structure in the microwave spectrum of trimethylamine-borane. Kasten W., Dreizler H., Kuczkowski R. L. «Z. Naturforsch.», 1985, A40, № 12, 1262—1264 (англ.)

На МВ-фурье-спектрометре в сверхзвуковой молекуле исследован спектр $(CH_3)_3N^{11}BH_3$. Идентифицирована СТС линий вращат. переходов с $J=1-0$ и $2-1$ в основном колебат. состоянии и перехода с $J=1-0$ в двух возбужденных колебат. состояниях. Определены значения вращат. и центробежных постоянных и постоянных квадрупольной связи ядер бора и азота. Для основного состояния получено: $B=4516,3558$ МГц; $D_J=-1,5$, $D_{JK}=-24,7$ кГц; $eqQ(^{11}B)=2,064$, $eqQ(^{14}N)=-2,832$ МГц.

Е. В. Алиева

X. 1986, 19, N 19

$\text{CH}_3\text{B}_5\text{H}_{10}$

1986

14 Б1372. Метилпентaborан(11); смесь изомеров.
 Methylpentaborane(11): a mixture of isomers. Osbог-
 не J. H., Hill R. C. P., Ritter D. M. «Inorg. Chem.»,
 1986, 25, № 3, 372—376 (англ.)

Изучены спектры ЯМР ^1H (500 МГц) и ^{11}B (160,4 МГц) метилпентaborана (11) (I) при т-ре -35°C . На основе спектров ЯМР ^{11}B с развязкой и без развязки от протонов сделан вывод, что в р-ре I находится в виде смеси 2 изомеров: $2\text{-CH}_3\text{B}_5\text{H}_{10}$ и $3\text{-CH}_3\text{B}_5\text{H}_{10}$. Отнесение сигналов в спектре ЯМР ^1H проведено по КССВ $J(\text{BH})$ и аддитивным инкрементам влияния CH_3 -группы на хим. сдвиги протонов борана C_5H_{11} . Приведены хим. сдвиги $\delta(^1\text{H})$ и $\delta(^{11}\text{B})$ для указанных изомеров I. Обнаружено, что метильная группа дезэкранирует атом бора в α -положении. Из анализа т-рных спектров ЯМР ^{11}B определены термодинамич. параметры динамич. равновесия $3\text{-CH}_3\text{B}_5\text{H}_{10} \rightleftharpoons 2\text{-CH}_3\text{B}_5\text{H}_{10}$.

Б. Н. Солкан.

X. 1986, 19, N 14

$3\text{-CH}_3\text{B}_5\text{H}_{10} \rightleftharpoons 2\text{-CH}_3\text{B}_5\text{H}_{10}$
Равновесные термод. параметры

CB_2H_3^-

1986

Spitznagel Gunter W.,
Diss Doktorgard. Natur-
wiss. Fak. Friedrich-Alex-
ander-Univ. Erlangen -
Nürnberg, 1986. 390 S, ill.

(c.c., CH_3^- ; III)

C₂H₅B

1986

J 8 Б1094. Расчеты неэмпирическим методом электронной структуры и поверхности потенциальной энергии C₂H₅B. Стабильность борирана. Ab initio electronic structure calculations of the C₂H₅B potential energy surface: the stability of borirane. Taylor Charles A., Zerner Michael C., Ramsey Brian. «J. Organomet. Chem.», 1986, 317, № 1, 1—10 (англ.)

Неэмпирическим методом ССП с использованием базисных наборов ОСТ-3 ГФ и 3-21 ГФ изучена Пв потенциальной энергии ППЭ системы C₂H₅B. Энергии стационарных точек, отвечающих 5 изомерам C₂H₅B, уточнены расчетами с учетом электронной корреляции по теории возмущений Мёллера — Плессета вплоть до 4-го порядка в базисе 6-31 ГФ**. В отличие от изоэлектронной системы циклопропильный катион — аллильный катион, в случае C₂H₅B аналог аллильного катиона — открытая плоская структура C₂H₅B с симметрией C_{2h} — на 102,4 кДж/моль лежит выше по энергии, чем

М.Н.

X. 1987, 19, N 8

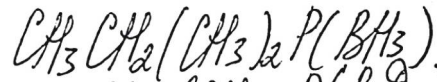
циклич. изомер бориран (аналог циклопропильного катиона), к-рый является стабильным минимумом на ППЭ. Изомеры $\text{H}_2\text{C}=\text{CHBH}_2$ (I) и $\text{H}_3\text{C}-\text{B}=\text{CH}_2$ (II) на 57,2 и 32,55 кДж/моль стабильнее борирана. Оценены энергии активации для перегруппировки борирана в I и II.

И. Н. Сенчения



Da. 26802]

1987



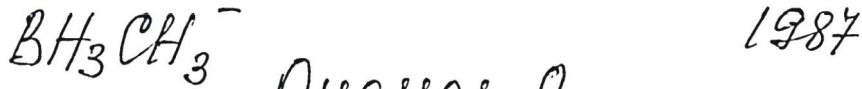
$\text{CH}_3\text{CH}_2(\text{CH}_3)_2\text{P}(\text{BD}_3)$ Durig J.R., Hizer T.J.
et al.,

UK, Samot.

creamy,
crystall.,
J. Mol. Struct., 1987, 159,

mpmth. 85-105.

coppnai
atally

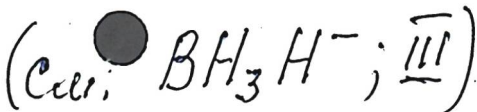


1987

Ouassas A.,

El Mouttaadi et al.

meop. THEOCHEM 1987, 37
paerim. (3-4), 255-60.



C₅H₅B (Om. 26735) 1987

106: 204235x Borinine (borabenzene): its structure and vibrational spectrum. A quantum chemical study. Raabe, Gerhard; Schleker, Wolfgang; Heyne, Eberhard; Fleischhauer, Joerg (Rheinisch-Westfälischen, D-5100 Aachen, Fed. Rep. Ger.). *Z. Naturforsch., A: Phys. Sci.* 1987, 42(4), 352-60 (Eng). Recently results were reported of some semiempirical and ab initio studies in which the electronic structure was compared of the hitherto unknown borinine with those of benzene and pyridine. The results of the calcs. led to the conclusion that the elusive nature of borabenzene is caused by its high reactivity, which might at least in part be due to the pronounced σ acceptor properties of a low-lying σ^* MO. The results are given of further ab initio and semilempirical (MNDO) investigations in which full geometry optimizations were performed for the mol. using 2 different basis sets (STO-3G, 4-31G) and the vibrational spectra was also calcd. of the ¹⁰B and ¹¹B isotopomeric borabenzene mols. at the 4-31G level of ab initio theory and with the semilempirical MNDO method. The calcd. vibrational spectrum might be helpful to the experimentalist in identifying the mol., for example trapped in a rare gas matrix among the side products. The calcd. orbital energies can be useful in identifying the mol. by means of its photoelectron spectrum.

Di u copyki,
meinem pacas

c.A.1987, 106, N24

Biol. NII (Om. 30783)

1988

Дорогова О.В., Маслюко-
струх-ков В.С. и гр.;
туре

ал. спр.кл.п. хлещи,
1988, 29, №, 137 - 139.

Микрохеографическое исследов.
спр.кл.п.  Молекулы,
1, 1'-бис(1-карбоплан), 1-(1'-1', 12'-

$B_{10} C_2 H_{11}) - 1, 12 - B_{10} C_2 H_{11}$



C.BH₃

[om. 29836]

1988

Forcada M.L., Alloscardo' F.
et al.,

meop. UCC180.
enorduebM.

J. Mol. Struct. Theochem.,
1988, 166, 293-299.

$\text{CB}_{11}\text{H}_{12}^-$ (OM. 31750) 1988

Green T.A., Switendick A.C.
et al,

ab initio
pozrem
 $\bar{\rho}_i$, cmpykt.
napravemp.

J. Chem. Phys., 1988, 89,
N 11, 6815-6822.

$C_2B_{10}H_{12}$

[Om. 31750]

1988

Green T.A., Switerdick A.C.
et al.,
J. Chem. Phys., 1988, 89,
N 11, 6815-6822.

HBCt

(OM 29210)

1988

Maier J.P.

Phil. Trans. Roy. Soc.
London, 1988, A324,
N1578, 209-221.

(A25-X27)
Koriam-
athanly

$C_2B_3H_5$ (DM 30219)

1988

McKee M.L.,

ab initio
pacem.

J. Mol. Struct. Theochem,
1988, 168, 191-203.

A Preliminary ab initio
study of rearrangements in $C_2B_3H_5$

$C_2B_3H_5ugp.$ 1988

McKee Michael L.

neopem.
pacrem Inorg. Chem. 1988, 27
(23), 4241-5.

(\bullet $Cu \cdot NH_3 \cdot BH_3 ug p, iii$)

$C_2B_4H_6$ [Om. 30182] . 1988

$C_2B_5H_7$ McKee M.L.,

ab initio J. Amer. Chem. Soc.,
1988, 110, N 16,
5317-21.

CH_3BH_2 1988

$\text{H}_2\text{C-BH}_3$ - Pius K., Chandra -
sekhar J.

J. Chem. Soc. Perkin
Structure Trans, Pt. 2. 1988,
N.Y. C. 1291-1295.

(cell. CH_3Li ; Li-organi.; III)

B - VapSpectra

B-C-H

1988

(UK)

109: 118529b The vibrational spectra (100-1600 cm⁻¹) and scaled ab initio STO-3G and 3-21G harmonic force fields for norbornane, norbornene, and norbornadiene. Shaw, R. A.; Castro, C.; Dutler, R.; Rauk, A.; Wieser, H. (Dep. Chem., Univ. Calgary, Calgary, AB Can. T2N 1N4). *J. Chem. Phys.* 1988, 89(2), 716-31 (Eng). The vibrational spectra in the region of 100-1600 cm⁻¹ of norbornane and norbornadiene are reinvestigated, and those of norbornene are reported for the first time. On the basis of 3-21G ab initio force fields, evaluated for each mol. and scaled using overlay refinements of 12 scaling factors, the spectra are assigned and the obsd. transition frequencies reproduced with an overall av. error of 6.2 cm⁻¹. STO-3G force consts., modified to correct for deficiencies in the stretch-bend interaction force consts. but otherwise scaled analogously to 3-21G, reproduce the final set of assignments to within 10.1 cm⁻¹ on av. The STO-3G basis is suitable as a less costly alternative to split-valence basis sets, particularly for describing the vibrational dynamics of low frequency ring bending and torsional modes.

c.A.1988, 109, N14

$[B(CH_2)_2]^-$ (Om. 30911)

1988

$[B(CH_2)_3]$

Sheldon J.C., Currie F.J.
et al.,

propen.

pacem

cryogen.

J. Amer. Chem. Soc.

1988, 110, N24,

8266 - 8267.

ОГ 29187

1988

 $H_2C = BCl_3$

10 Д148. Сравнение энергий двойных связей элементов второго периода с углеродом и кремнием. A comparison of the energies of double bonds of second-row elements with carbon and silicon. Von Ragué Schleyer Paul, Kost Daniel. «J. Amer. Chem. Soc.», 1988, 110, № 7, 2105—2109 (англ.)

С использованием метода многочастичной теории возмущений (МЧТВ) четвертого порядка в варианте Мёллера—Плессета выполнены расчеты энергетических и структурных характеристик систем с двойными связями вида $H_2Y=XH_n$ ($Y=C, Si; X=B, C, N, O, Al, Si, P, S$). В МЧТВ учитывались все одно-, двух-, трех- и четырехкратные возбуждения по отношению к волне ф-ции нулевого приближения. Найдено, что π -связи $C=X$ являются значительно более сильными по сравнению с π -связями $Si=X$. При этом энергии π -связей как для C, так и для Si практически линейно зависят от электроотрицательности X. Также обнаружена линейная зависимость энергий π -связей от длины связи $Y=X$.

А. И. К.

М.Н.

(15)

о. 1988, 18, N 10.



1989

Bernardi F., Bottani A.
et al.

J. Mol. Struct. Theochem.
41. n. 1989. 183, n. 3-4. c. 301-309.

(cav. $\text{LiCH}_2-\text{CH}_2$; $\bar{\text{II}}$)

$C_2B_4H_8$

1989

110: 102115y Theoretical study of the classical and nonclassical forms of $C_2B_4H_8$ (cyclic hexacarborane). McKee, Michael L. (Dep. Chem., Auburn Univ., Auburn, AL 36849 USA). *J. Phys. Chem.* 1989, 93(4), 1265-6 (Eng). Ab initio calcns. have been carried out on the nonclassical and classical forms of $C_2B_4H_8$. At the MP²/6h31G* + ZPC//3-21G (zero-point corrections using the 3-21G basis) level, the classical form, which is a six-membered ring in a chair conformation, is 56.5 kcal/mol higher in energy than *nido*-2,3- $C_2B_4H_8$. Calcns. using the 3-21G basis indicate the chair form to be 7.8 kcal/mol lower in energy than the *nido* form. Despite the obvious shortcomings of the double- ζ basis, geometries and vibrational frequencies are reasonably reproduced.

meoren
racem
copy/kmgsr,
cmabunbH., vi

c.A.1989, 110, N12

НВСН
НВСВН₂

Октябрь 1990

7 Д114. Тройная связь бор — углерод ($-\bar{B} \equiv C-$): несколько теоретических предсказаний. The boron—carbon triple bond ($-\bar{B} \equiv C-$): Some theoretical predictions / Alberts Ian L., Schaefer Henry F. (III) // Chem. Phys. Lett.— 1990.— 165, № 2—3.— С. 250—256.— Англ.

Методом ССП и конфигурац. взаимодействия с учетом одно- и двухкратных возбуждений однодетерминантной воли. ф-ции рассчитаны равновесные геометрич. параметры, частоты колебаний и дипольные моменты молекул НВСН и НВСВН₂. В расчете использован базисный набор ф-ций гауссова типа [4s2p/2s], дополненный набором поляризационных d-ф-ций на атомах В и С и

м-1

октябрь 1990, № 7

p-орбиталей на атомах Н, а также трехэкспонентный базис [5s3p/3s], дополненный двумя наборами поляризационных ф-ций. Изучена зависимость результатов расчетов от расширения базиса АО диффузными ф-циями; величина дипольного момента в ряде случаев изменяет знак. Отмечено, что связи В—С в молекуле HBCBH_2 существенно неэквивалентны и имеют разную длину. Связь В—С имеет формальный порядок 3, причем на атоме В локализован отрицат. заряд. Отмечено, что строение дибораниона может быть объяснено в терминах резонанса структур и взаимодействий, связанных с перекрыванием орбиталей.

А. Ю. Ермилов

$C_5H_5BH_2$ 1990
Түлжобаев М. Н.,
Синекин Б. Я. II гр.

Ж. орган. химии.
1990. 36, № 1. с. 210-212.

(авт. H_2BZr_2 ; III)

C₂B₂H₄

1990

✓ 20 Б 1027. Изомерные молекулы типа C₂B₂H₄ и C₃BH₅.
Izomerické molekuly typu C₂B₂H₄ a C₃BH₅ /Hálová Olga
//Sb. VŠCHT Praze. P.—1990.—11.—C. 39—49.—Нем.
;рез. англ.

✓ Неэмпирическим методом ССП МО в базисе ОСТ-ЗГФ оптимизированы геометрии и рассчитаны распределения заряда восьми борсодержащих 3- и 4-членных гетероциклов — семи изомеров C₂B₂H₄ (I) и 1,2-дигидроборета CH₂CHBHCH₂ (II). Среди изомеров I наиболее стабилен CH₂C=BHBH с планарным 4-членным циклом. Неплоский конформер II стабильнее планарного. В. Я. Беспалов

И.1



(1)

X. 1992, № 20,



1990

Ká'lord Olga

BB. VŠCHT Praze. P. 1990,

M.N. 11, C. 39 - 49.

(all. Cabatty ; III)

$(CH)_2(BH)_n$
 $(n=2)$

1990

9 9 Д102. Изомерные молекулы типов $C_2B_2H_4$ и C_3BH_5 . Izomerické molekuly typu $C_2B_2H_4$ a C_3BH_5 / Hálová Olga // Sb. VŠCHT Praze. Р.— 1990.— 11.— С. 39—49.— Чеш.; рез. англ.

Неэмпирическим методом в базисе ОСТ-ЗГФ исследована серия молекул типа $(CH)_2(BH)_n$ ($n=2$) в различных геометрич. конфигурациях. Рассчитаны полные энергии и зарядовые распределения. Исследована также ароматич. молекула с одним атомом В в четырехчленном кольце: $(CH)_2BHCH_2$.

М.Л.

Ф. 1992, № 9.

$CB_5H_6^-$

(an. 33196)

1990

CB_5H_7 Следов А.И., Чаркин О.Г.,

структурн.
теорем.
расчес.

теорем. исследов. структур
алюминов

Де. Моргах. Журнал,
1990, 35, №2, 312-319.

Практическое применение
 $AlB_5H_6^{2-}$

CB_5H_6^- , SiB_5H_6 и их производных
представляющих производные
 AlB_5H_7^- , EB_5H_7 и SiB_5H_7 .

BCH (DM-33709) '1990

Santa Il., Leroy F., Henriet Ch.,

M.N.

J. Chim. Phys. Et Chim.
Biol. 1990, 87, N1, 1-11.

BH_2CH_3

(OM 33709)

1990

BHCH_2 Sana M., Leroy F., Henriet Ch.,

g. Chim. Phys. Et Chim.
M.N. Biol. 1990, 87, N1, 1-11.



1991

Cao Yang,
Wang You-Liang.

Сейрүк-Таогаш сөзсөн шы-
ныре, 1991. №, №3. С.
радион.

Univ. 1991. №, №3. С.

353-355. (ал. B_2H_6 ; I)

$[H_2C=CH_2]^+$

1991

20 Б1029. Неэмпирический расчет энергетических и структурных параметров анионов, содержащих атомы бора и метиленовые группы. Neempirický výpočet energetických a strukturálních hodnot aniontů obsahujících atomy boru a methylenové skupiny /Hálová Olga //Sb. VŠCHT Praze. Р.—1991.—12.—С. 27—34.—Чеш.; рез. англ.

Неэмпирическим методом ССП МО в базисе ОСТ-ЗГФ оптимизированы геометрии и рассчитаны распределения заряда в анионах $[H_2C=CH_2]^-$ (I), $[H_2C=CH_2O]^-$ (II), двух конформерах $[B(CH_3)_3]^-$ (III) и двух конформерах $[OB(CH_3)_2]^-$ (IV). Найденная равновесная конфигурация II имеет симметрию C_{2v} , как и изоэлектронный кетен, а I, в отличие от аллена, — C_{2v} с неодинаковыми метиленовыми группами. Неплоские конформеры III и IV стабильнее планарных.

В. Я. Беспалов

(73)

X. 1992, № 20

$[B(CH_2)_3]^-$

1991

Ka'evodá' Olga

fb. KČHT Praze · p. - 1991. - 12 -
č. 27-34.

u.v.

[all. $H_2C=CH_2]^-$



1-CH-1,2-C₂B₃H₄

1991

и. џр.

2 Б1130. Расчетное исследование карборанилкарбенов 1-CH-1,2-C₂B₃H₄ и 1-CH-1,2-C₂B₄H₅. Computational study of carboranylcarbenes 1-CH-1,2-C₂B₃H₄ and 1-CH-1,2-C₂B₄H₅ /McKee M. L. //J. Amer. Chem. Soc.—1991.—113, № 25.—С. 9448—9454.—Англ.

Неэмпирическим методом ССП в базисе 6—31 ГФ оптимизированы геометрии двух первых членов в ряду карборанов 1,2-C₂B₃H₅ и 1,2-C₂B₄H₆ с карбеновым заместителем в положении 1. Для первого члена ряда 1-CH-1,2-C₂B₃H₄ присоединение карбенового заместителя приводит к полному разрушению каркасной структуры, а для 1-CH-1,2-C₂B₄H₅ каркасная структура отвечает минимуму на поверхности потенциальной энергии (ППЭ). Глобальным минимумом на обеих ППЭ является развернутая каркасная структура, изоэлектронная и изоструктурная следующему члену ряда карборанов. Результаты расчетов сопоставлены с данными по химии α-карборанилкарбена 1-CH-1,2-C₂B₁₀H₁₁.

В. И. Фаустов

X. 1993, № 2

BCH

1991

Sara Michel, Leroy G.

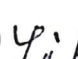
et al.,

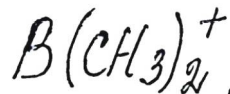
J. Mol. Struct. Theochem.

1991, 226, N3-4. C. 30% -

$\Delta_f H$

325.

(Cal.  LiH; )



1991

cmpryK-
mypyA,
pacrem

Schneider William F.,
Narula Chaitanya K. et al

Inorg. Chem. 1991. 30,
N2O. C. 3919 - 3927.



1992

Bl₂H₂

У 9 Д101. Теоретическое исследование изомеров BC₂H₂ и AlC₂H₂. Взаимодействия атомов B и Al с ацетиленом. Theoretical study of BC₂H₂ and AlC₂H₂ isomers. The interactions of B and Al atoms with acetylene / Flores J. R., Largo A. // J. Phys. Chem.— 1992.— 96, № 7.— С. 3015—3021.— Англ.

Неограниченным методом Хартри—Фока в различных базисах, от неполяризованного базиса 3-21ГФ до базиса 6-31ГФ**, включающего набор поляризац. *p*-ф-ций на водороде и набор *d*-ф-ций на более тяжелых атомах, проведено исследование изомеров системы BC₂H₂. Учет корреляции в рамках метода Меллера—Плессета 3-го порядка показал, что основным состоянием системы является циклич. форма HBC₂H(²A''), однако изомеры циклич. формы BC₂H₂(²A₁) и HBCCH(²A') лежат близко по энергии. Выше по энергии лежат два изомера: BCCH₂ (B — винилиден) и H₂BCC, которые также связаны. Проведено сопоставление с системой AlC₂H₂. В обеих системах исследовано взаимодействие атомов B или Al с π-связью и со связью C—H ацетилена.

III.



(4)

Ф. 1992, №.

$C_2B_3H_5$

1992

Tenniss E.D., Subramanian G.,

смадимостъ
ионов,
изоп. равен
Indian J. Chem., Sect. A:
Inorg., Bio-inorg., phys.
Theor. Anal. Chem. 1992, 31A(9),
645-6.

(ал. $Si_3B_3H_5$; III)

B(CH₃)₃

1992

117: 198912z: Boron versus carbon: conjugation, hyperconjugation and rotational barriers in the "neoclassical" boron hydride, triborylborane [B(BH₂)₃] and its dianion. Skancke, Anne; Lehman, Joel F. (Dep. Chem., Univ. Tromso, N-9000 Tromso, Norway). *THEOCHEM* 1992, 91, 411-29 (Eng). The structure and energies of formally related boron- and carbon-contg. compds. is reviewed and the concept of "neoclassical" boranes (species with only a B and B-H 2-center bonds) is introduced. Hartree-Fock (6-31G* + 6-31 + G) and second order Moller-Plesset (MP2) ab initio quantum chem. calcs. are used to study the rotational barriers of such species: triborylborane and its dianion. Neutral triborylborane is most stable in its triply -BH₂-rotated form, whereas the dianion is most stable when planar. The "classical" concepts of conjugation, hyperconjugation, and Y-aromaticity are used to derive a qual. understanding of these findings.

(Mykmyr,
(aff))

meop. paciem

C.A. 1992, 117, N 20.

HBC₂

B₂C₂H₂

UK,

структура

[Om. 37222]

1993

Andrews D., Hassanzadeh P.,
et al.,

J. Phys. Chem., 1993,
97, 5839 - 5847

H_2CBH_2

Om. 37324

1993

$HCBH$

Hassanzadeh P., Harrachi Y.,
et al.,

$HBCBH$

H_2CBH_2

(D₁)

UK

J. Phys. Chem. 1993, 97,
6418 - 6424.

Blatt

1993

24 Б1045. Реакции атомов бора с ацетиленом. Рассчитанные неэмпирические и экспериментальные ИК-спектры радикала борирена BC_2H_2 . Идентификационное соответствие. Boron atom reactions with acetylene. Ab initio calculated and observed isotopic infrared spectra of the borirene radical BC_2H_2 . A fingerprint match /Martin Jan M. L., Taylor Peter R., Hassanzadeh Parviz, Andrews Lester //J. Amer. Chem. Soc. —1993 .—115 ,№ 6 .—C. 2510—2511 .—Англ.

М.Н.

Х.1994, №24

1994

HCB

HCB -

метилен
раселен
мизкин
Мекки - Соломон

121: 94555b Theoretical studies of the spectra of excited states and state-to-state conversion barriers for HCB and HCB-. Cao, Zexing; Tian, Anmin; Yan, Guosen (Dep. Chem., Hunan Norm. Univ., Changsha, Peop. Rep. China 410081). *Wuli Huaxue Xuebao* 1994, 10(5), 387-90 (Ch). The low-lying singlet and triplet states of HCB (methylidyneborane) and HBC (methylen=eborylene), and the doublet states of HCB- and HBC- were exampd. by using ab initio MO theory at the HF/TZP, FOCI/MC-SCF level. For the neutral mols., several new low-lying electronic states are found, and the linear triplet structures have the lowest energy. For the anions, the $^2\Sigma^+$ states are lower in energy than the $^2\Pi$ states. For HCB, the $^3\Pi$ state is 15.38 kcal/mol more stable than the $^3\Sigma^-$ state, and for HBC the $^3\Pi$ is 2.51 kcal/mol below the $^3\Sigma^-$ state at the 1st-order CI (FOCI) level. The barriers of the conversion of HBC($^3\Pi$) to HCB($^3\Pi$), HBC($^1\Delta(^1A_1)$) to HCB($^1A' C_s$) and HBC($^1\Delta(^1A_2)$) to HCB($^1A'' C_s$) are 23.21, 12.97, and 21.09 kcal/mol, resp. The activation energies of the conversion of HBC-($^2\Sigma^+$) to HCB($^2\Sigma^+$) and HCB-($^2\Pi$) to HBC-($^2\Pi$) are 18.13 and 25.88 kcal/mol, resp. A symmetry breaking phenomenon is obsd. in several states. The harmonic vibrational frequencies of the neutral mols. and the anions also provide information for the possible exptl. observation of these species.

C. A. 1994, 121, N⁸



1994

Demachy I., Volatron F.

Z. Phys. Chem. 1994, 98,
N 42. C. 10728-10734.

et. n.

(see B_2H_4 ; iii)

CH₃BH

1994

-) 5 Б1085. Неэмпирическое исследование продукта реакции внедрения атома бора в метан: CH₃BH. Ab initio study of the insertion product of the boron-methane reaction: CH₃BH /Hannachi Yacine, Hassanzadeh Parviz, Andrews Lester //J. Phys. Chem. .—1994 .—98 , № 28 .—C. 6950—6954 .—Англ.

Неэмпирическим методом ССП, а также с учетом электронной корреляции в рамках теории возмущений Меллера-Плессета второго порядка и метода связанных кластеров с учетом одно- и двукратных возбуждений проанализирована электронная и геометрич. структура пер-

X·1995, N5

вичного продукта внедрения атома бора в молекулу метана — CH_3BH (I). Показано, что в противоположность CH_3AlH молекула I не имеет симметрии, C_3 -изомер отвечает переходному состоянию для вращения вокруг связи B—C. Р-ция внедрения экзотермична на 50 ккал/моль. Проанализированы возможные маршруты диссоциации и перегруппировки I. В согласии с данными ИК-спектроскопии матричной изоляции найдено, что диссоциация с образованием $\text{CH}_2\text{BH} + \text{H}$ и перегруппировка в CH_2BH_2 энергетически благоприятны. Показано, что I м. б. идентифицирован экспериментально по интенсивной ИК-полосе в области 2680 см^{-1} , относящейся к вал. кол. связи B—H. Библ. 32.

И. Н. Сенченя

$B_3 H_6 CH$

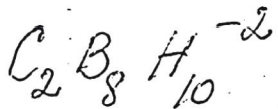
1994

Jennis Elvathingal D.,
Subramanian G. et al.

copoly-
mer,
ab initio
pacem

Inorg. Chem. 1994, 33
(11), 2317 - 19.

(crys. $B_3 H_6 NH^+ ; \text{II}$)



1994

Rousseau Roger,
Lee Stephen.

метал.
расчёс
номериз.
поверхн.,
стекло.

J. Chem. Phys. 1994,
101(12), 10753-65.

(см. $B_nH_n^{2-}$, III)

1995

HCB
HBC
HCB-
HBC-

МУЛДЕР.
МЕММОН.
КОСМОСИК,
КОРФАМ.
ЗАСНОВА

C.A. 1995, 122, N 24.

122: 301511x The low-lying electronic states and harmonic vibrational frequencies of HCB, HBC, HCB- and HBC-. Cao, Zexing; Zhang, Jinglai; Tian, Anmin; Yan, Guosen (Department of Chemistry, Hunan Normal University, Changsha, Peop. Rep. China 410081). *THEOCHEM* 1995, 333(1-2), 191-7 (Eng). The low-lying singlet and triplet states of HCB and HBC, and doublet states of HCB- and HBC- were examd. using ab initio MO theory at the HF/TZPP, FOCI/MCSCF level. For the neutral mols., several new low-lying electronic states are found, and the linear triplet structures have the lowest energy. For the anions, the $^2\Sigma^+$ states are lower in energy than the $^2\Pi$ states. For HCB, the $^3\Pi$ state is 15.38kcal mol $^{-1}$ more stable than the $^3\Sigma^-$ state, and for HBC the $^3\Pi$ is 2.51kcal mol $^{-1}$ below the $^3\Sigma^-$ state at the 1st order CI (FCCI) level. The barriers to conversion of HBC($^3\Pi$) to HCB($^3\Pi$), HBC($^1\Delta(^1A_1)$) to HCB($^1A' C_s$) and HBC($^1\Delta(^1A_2)$) to HCB($^1A'' C_s$) are 23.21, 12.97 and 21.09kcal mol $^{-1}$, resp. The activation energies to conversion of HBC-($^2\Sigma^+$) to HCB-($^2\Sigma^+$) and HCB-($^2\Pi$) to HBC-($^2\Pi$) are 18.13 and 25.88kcal mol., resp. The energies of fragmentation of HCB and HBC, and the harmonic vibrational frequencies of the neutral mols. and the anions are also reported to provide information for the possible exptl. observation of these species.

1995

F: B₂CH₄

P: 3

8Б149. Соединения бора с анти-геометрией вант Гоффа/Ле Беля.
Теоретическое исследование классических и неклассических изомеров
B[2]CH[4], B[2]NH[3] и B[2]OH[2]. Anti van't Hoff/Le Bel geometries of
boron compounds. A theoretical study of classical and nonclassical isomers
of B[2]CH[4], B[2]NH[3] and B[2]OH[2] / Fau Stefan, Frenking Gernot // J.
Mol. Struct. Theochem. - 1995. - 338. - С. 117-130. - Англ.

Неэмпирическим методом ССП МО ЛКАО в базисах до 6-311ГФ(2df,
2pd) с учетом электронной корреляции в рамках МП4 исследована
поверхность потенциальной энергии B[2]CH[4], B[2]NH[3] и B[2]OH[2].
Найдено четыре, шесть и три равновесных изомера соответственно.
Электронное строение систем изучено с помощью топологич. анализа
распределения электронной плотности и соответствующих градиентов и
лапласиана.

Р.Ж.Х. N8, 1996

B₂CH₄

1995

123: 322454s Anti van't Hoff/Le Bel geometries of boron compounds. A theoretical study of classical and nonclassical isomers of B₂CH₄, B₂NH₃ and B₂OH₂. Fau, Stefan; Frenking, Gernot (Fachbereich Chemie, Philipps-Universitaet Marburg, Hans-Meerwein-Strasse, D-35032 Marburg, Germany). THEOCHEM 1995, 338, 117-30 (Eng). The potential energy surfaces of B₂CH₄, B₂NH₃ and B₂OH₂ have been studied using quantum chem. ab initio methods at the MP2/6-31G(d) level of theory. Improved energies are calcd. at MP4/6-311G(2df,2pd). Four energy min. forms are predicted for B₂CH₄. Six isomers are calcd. as energy min. for B₂NH₃, while three equil. structures are predicted for B₂OH₂. The electronic structure of the mols. is investigated using the topol. anal. of the electron d. distribution and its assocd. gradients and Laplacian.

nomes.
noleptioem
cmrykmypa
meop. pacet

(72)

B₂NH₃, B₂OH₂



C.A. 1995, 123, N24

B₂CH₄

1995

7 8Б149. Соединения бора с анти-геометрией вант Гоффа/Ле Беля. Теоретическое исследование классических и неклассических изомеров B_2CH_4 , B_2NH_3 и B_2OH_2 . Anti van't Hoff/Le Bel geometries of boron compounds. A theoretical study of classical and nonclassical isomers of B_2CH_4 , B_2NH_3 and B_2OH_2 / Fau Stefan, Frenking Gernot // J. Mol. Struct. Theochem. — 1995. — 338. — С. 117—130
— Англ.

Неэмпирическим методом ССП МО ЛКАО в базисах до 6-311ГФ(2df, 2pd) с учетом электронной корреляции в рамках МП4 исследована поверхность потенциальной энергии B_2CH_4 , B_2NH_3 и B_2OH_2 . Найдено четыре, шесть и три равновесных изомера соответственно. Электронное строение систем изучено с помощью топологич. анализа распределения электронной плотности и соответствующих градиентов и лапласиана.

Н. Л.

~~(1)~~ (2)

X. 1996, N 8

1995

F: B₂CH₄

P: 3

8Б149. Соединения бора с анти-геометрией вант Гоффа/Ле Беля.
Теоретическое исследование классических и неклассических изомеров
B[2]CH[4], B[2]NH[3] и B[2]OH[2]. Anti van't Hoff/Le Bel geometries of
boron compounds. A theoretical study of classical and nonclassical isomers
of B[2]CH[4], B[2]NH[3] and B[2]OH[2] / Fau Stefan, Frenking Gernot // J.
Mol. Struct. Theochem. - 1995. - 338. - С. 117-130. Англ.

емпирическим методом ССП МО ЛКАО в базисах до 6-311ГФ(2df, 2pd)
с учетом электронной корреляции в рамках МП4 исследована
поверхность потенциальной энергии B[2]CH[4], B[2]NH[3] и B[2]OH[2].
айдено четыре, шесть и три равновесных изомера соответственно.
Электронное строение систем изучено с помощью топологич. анализа
распределения электронной плотности и соответствующих градиентов и
лапласиана.

X. 1996, N8.

Nenier - (OM 38628)

1996

GIFOPAR

Anrendra Vijay, D.N.

$B_2H_5-CH_3$ Sathyanarayana*,

$B_2D_5-CH_3$ J. Mol. Struct., 1996,

$B_2D_5-CD_3$

384, 203-214

Theoretical
structure,

studies of
ground state

Vibrations and force field
of methylidiborane.

БСНУ

1996

19Б169. Реакция атомов бора с этиленом. Неэмпирическое изучение радикала бора. Reaction of boron atoms with ethylene: Ab initio study of the borirane radical / Hannachi Yacine, Hassanzadeh Parviz, Andrews Lester // Chem. Phys. Lett.— 1996.— 250, № 3-4.— С. 421–427.— Англ.

Неэмпирическими методами ССП, МП2, гибридным методом функционала плотности (B3LYP), методом связанных кластеров (с учетом одно-, двух- и частично трехкратных возбуждений) исследована структура, колебательные частоты и ИК-интенсивности циклического радикала BC_2H_4 , образующегося при взаимодействии $\text{B}+\text{C}_2\text{H}_4$. Исследованы также исходные молекулы и родственные радикалу структуры. Библ. 36. Н. С.

М-1.

Х.1997, N19

$\text{CH}_3 - \text{BH}_2$

(DM. 38522)

1996

$\text{CH}_3 - \text{BH}_2^+$

$\text{CH}_3 - \text{BH}_2^-$ Harold Basch, Pinchas
Arod et al.,

De, Re,
ab initio
paresh
Mol. Phys., 1996, 89, N2,
331-384.

$(CH)_2B_6H_6$

1996

124: 271021j Ab Initio Study of the Eight-Vertex closo-Heteroboranes $X_2B_6H_6$ ($X = CH, SiH, GeH, SnH$, and PbH). Is the Hexagonal Bipyramid a Viable Alternative? Jemmis, Eluvathingal D.; Subramanian, G.; McKee, Michael L. (School of Chemistry, University of Hyderabad, Hyderabad, 500 046 India). *J. Phys. Chem.* 1996, 100(17), 7014-17 (Eng). The hexagonal bipyramidal arrangement is calcd. to be much closer in energy to the bisdisphenoid skeleton for the

eight-vertex closo-heteroboranes with SiH , GeH , SnH , and PbH as the heteroatoms as compared with CH . The compatibility of the orbitals in overlap and the concept of the topol. charge stabilization is extended to explain the structure and stability of these mols. The qual. approach breaks down for the heavier congeners of the carbon family as revealed by quasi-relativistic pseudopotential calcns.

ab initio
paper

$(SiH)_2B_6H_6$, $(GeH)_2B_6H_6$,
 $(SnH)_2B_6H_6$, $(PbH)_2B_6H_6$

(H) \otimes



C.A. 1996, 124, N 20

F: BC₂H₄

P: 3

7Б167. Теоретическое изучение простых бороганических соединений. Структура и устойчивость изомеров BC[2]H[4]. Theoretical studies of simple organoboron compounds: Structures and stabilities of BC[2]H[4] isomers / Largo Antonio, Barrrientos Carmen // Appl. Organometal. Chem. - 1996. - 10, N 3 - 4. - C. 283-295. - Англ.

Неэмпирическими методами исследованы возможные изомеры, образуемые при взаимодействии атомарного бора с этиленом. Геометрические параметры 10 изомеров BC[2]H[4] получены в приближении МП2, электронные энергии - на уровне МП4. Показано, что глобальному минимуму на поверхности потенциальной энергии отвечает структура H[2]BCCH[2] (электронное состояние {2}B[2]) с плоскостью НВН, перпендикулярной фрагменту ССН[2], и с энергией на 66 ккал/моль более низкой, чем энергия комплекса бор+этилен в основном состоянии. Другими наиболее низкоэнергетическими структурами являются изомеры НВСНСН[2] и Н[2]BCHСН (оба в электронных состояниях {2}A{1}), лежащие выше глобального минимума на 8 и 13 ккал/моль соответственно. Библ. 62.

1996

РУДК 1997

ВСНУ

1996

7Б167. Теоретическое изучение простых бороганических соединений. Структура и устойчивость изомеров BC_2H_4 . Theoretical studies of simple organoboron compounds: Structures and stabilities of BC_2H_4 isomers / Largo Antonio, Barrientos Carmen // Appl. Organometal. Chem.— 1996 .— 10, № 3–4 .— С. 283—295
— Англ.

М.Н.

Неэмпирическими методами исследованы возможные изомеры, образуемые при взаимодействии атомарного бора с этиленом. Геометрические параметры 10 изомеров BC_2H_4 получены в приближении МП2, электронные энергии — на уровне МП4. Показано, что глобальному минимуму на поверхности потенциальной энергии отвечает структура H_2BCCCH_2 (электронное состояние $^2\text{B}_2$) с плоскостью НВН, перпендикулярной фрагменту CCH_2 , и с энергией на 66 ккал/моль более низкой, чем энергия комплекса бор+этилен в основном состоянии. Другими наиболее низкоэнергетическими структурами являются изомеры HBCNCH_2 и H_2BCHCN (оба в электронных состояниях $^2\text{A}^1$), лежащие выше глобального минимума на 8 и 13 ккал/моль соответственно. Библ. 62.

Н. С.

Х. 1997, N 7

1996

F: B₂(CH₃)₄

P: 3

13Б143. Теоретическое изучение сопряжения, сверхсопряжения и стерических эффектов в B[2]D[4] (D=H, F, OH, NH[2] и CH[3]). Theoretical study of conjugation, hyperconjugation, and steric effect in B[2]D[4] (D=H, F, OH, NH[2], and CH[3]) / Mo Y., Lin Z. // J. Chem. Phys. - 1996. - 105, N 3. - C. 1046-1051. - Англ.

Неэмпирическим методом ССП в базисе 6-31ГФ{*} исследовано электронное строение B[2]X[4], X=H, F, OH, NH[2], CH[3]. Обсуждены вклады эффектов сопряжения, сверхсопряжения и стерич. эффектов в барьеры вращения групп BX[2]. При этом проведены расчеты с включением в рассмотрение 'пи'-орбиталей атомов B и без их учета.

РМХ 1997

$B_2(CH_3)_4$

1996

Mo, Yirong;
Xin, Zhengyang;

paper
fractional, J. Chem. Phys., 1996,
Cmp-PA,
Meepem-105(3), 1046-51.
PA-EM

$(CH)_2BH$ (Om. 39148)

1997

Dominick V. Lanza et al.,

FTIR at
DFT pac-
rent 5konsat
usg.

J. Am. Chem. Soc.,
1997, 119, 12402-403

ByHgCd^+ 1997
 ByHgC Wu, Hai-Sun;
 ByHgCH^+ et al.,
emp-pa
cnabrekk,
meopen.
panem

Hedgpeth & Ruebas,
1997, 55(2), 1185-90

(all By Hg; III)

BCK_n^{k-}
 $(n=2-6,$
 $k=0, -1)$

(DM. 40579)

2000

Литература,

смр-па,
ab initio
45, N 7, 1182 - 1192.

исслед. Структура простейших
городогородских карбонатов в
корах и коричневых

initio acceptatione.

Blatt

Im. 40dsfa"] 2080

emp- $\rho\alpha$,
furanuka,
korosan.
 c_b - $\beta\alpha$

Nicolas Fallard,
Yacine Hassachi et al.,
Chem. phys., 2000, 25,
205-215.

HBCC

2001

(X¹Σ)

135: 335325y Gas-phase detection of the HBCC (X¹Σ) molecule: a combined crossed beam and computational study of the $B(^2P) + C_2H_2(^1\Sigma_g^+)$ reaction. Balucani, N.: Asvany, O.; Lee, Y. T.; Kaiser, R. I.; Galland, N.; Rayez, M. T.; Hannachi, Y. (Institute of Atomic and Molecular Sciences, Taipei, Taiwan 107). *J. Comput. Chem.* 2001, 22(13), 1359–1365 (Eng), John Wiley & Sons, Inc. A novel supersonic beam of ground-state boron atoms [$B(^2P)$] was employed to investigate the reaction of $B(^2P)$ with acetylene [$C_2H_2(^1\Sigma_g^+)$] at an av. collision energy of $16.3 \pm 0.4 \text{ kJ mol}^{-1}$ at the most fundamental microscopic level. The crossed mol. beam technique was used to record time of flight spectra at mass to charge ratios of 36 ($^{11}BC_2H^+$), 35 ($^{10}BC_2H^+ / ^{11}BC_2^+$), and 34 ($^{10}BC_2^+$) at different lab. angles. Forward-convolution fitting of the lab. data showed that only a product with the gross formula BC_2H was formed via a boron vs. hydrogen exchange. By combining exptl. results with electronic structure calcns., the conclusion was that the reaction proceeded via the initial addn. of $B(^2P)$ to the two carbon atoms of acetylene, leading to the formation of a first intermediate, the borirene radical ($c-BC_2H_2$). This intermediate underwent various isomerization processes on the BC_2H_2 potential energy surface before decomp. into the linear $HBCC(X^1\Sigma)$ isomer via a hydrogen atom elimination.

C. A. 2001, 135, No. 3

OM. 47573

2002

D₂₉₈(CH₅BH) Kent M. Ervin and
Vincent F. De Teri,

J. Phys. Chem. 2002,

A106, 9947- 56.